# Plasma Diagnostics for Non-Standard Supernova Remnants in the Galactic Center Region

—Origin of Recombining Plasma and Missing Branch of SNR Evolution—

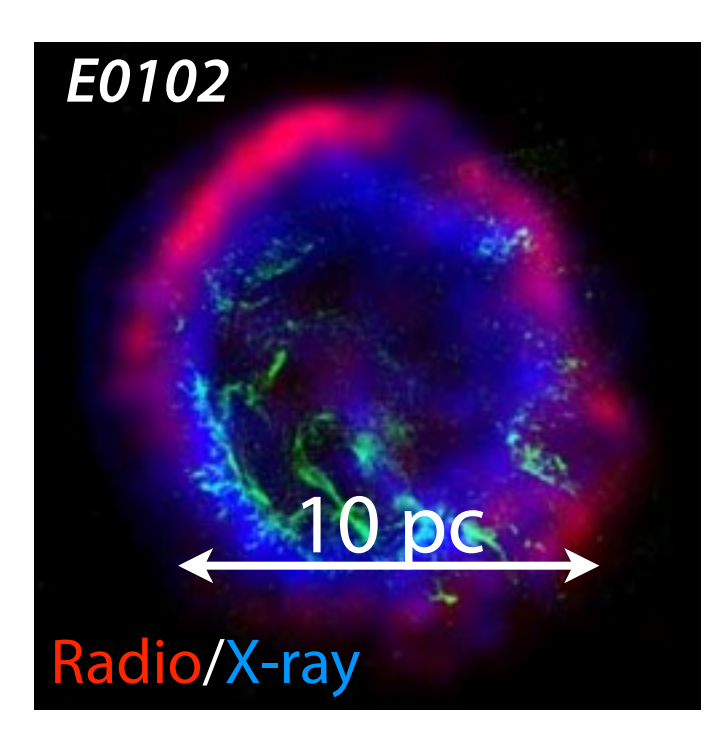
### **Makoto Sawada**

Kyoto CR group AGU Bamba group

At the 12th HEAPA workshop, Mar. 30 2012.

# Standard SNRs

シェル型

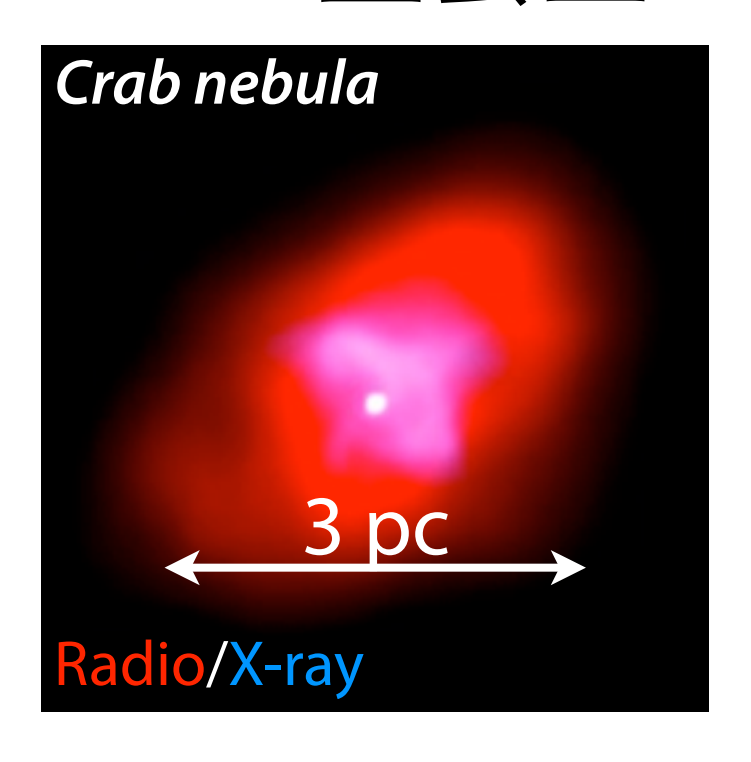


### リング状の熱的X線

爆発衝撃波により 加熱された高温プラズマ

本研究の対象

かに星雲型

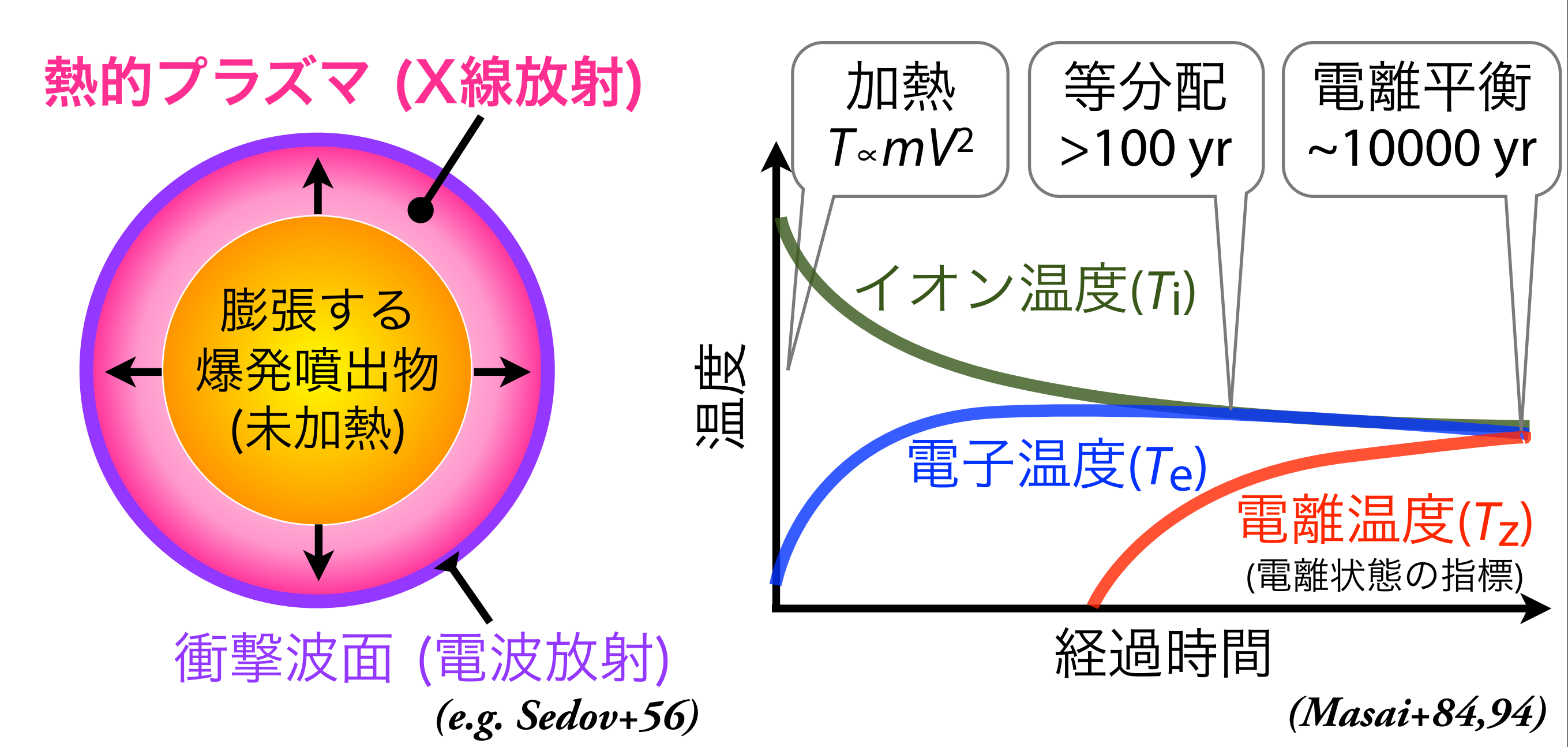


### 中心集中の非熱的X線

パルサーで加速された電子 (パルサー風星雲)

# Standard Evolution of Thermal SNRs

- 一様な星間物質中の点源爆発



・空間構造=シェル型

• 熱的構造=**電離過程優勢** (T<sub>z</sub> < T<sub>e</sub>, d/dt T<sub>z</sub> >0)

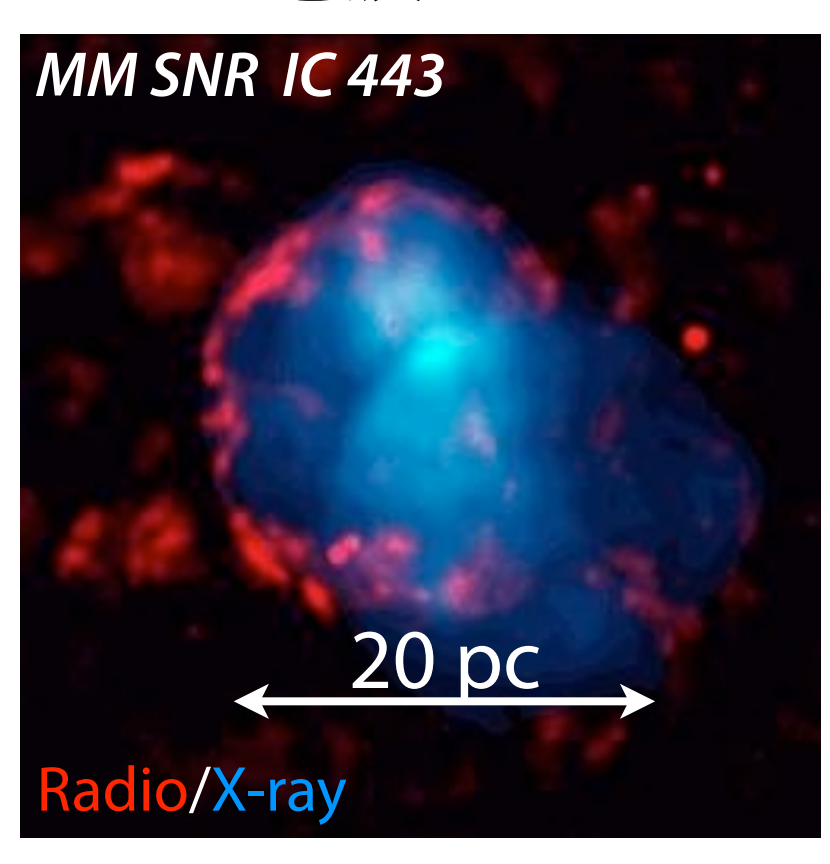
# Non-Standard SNRs

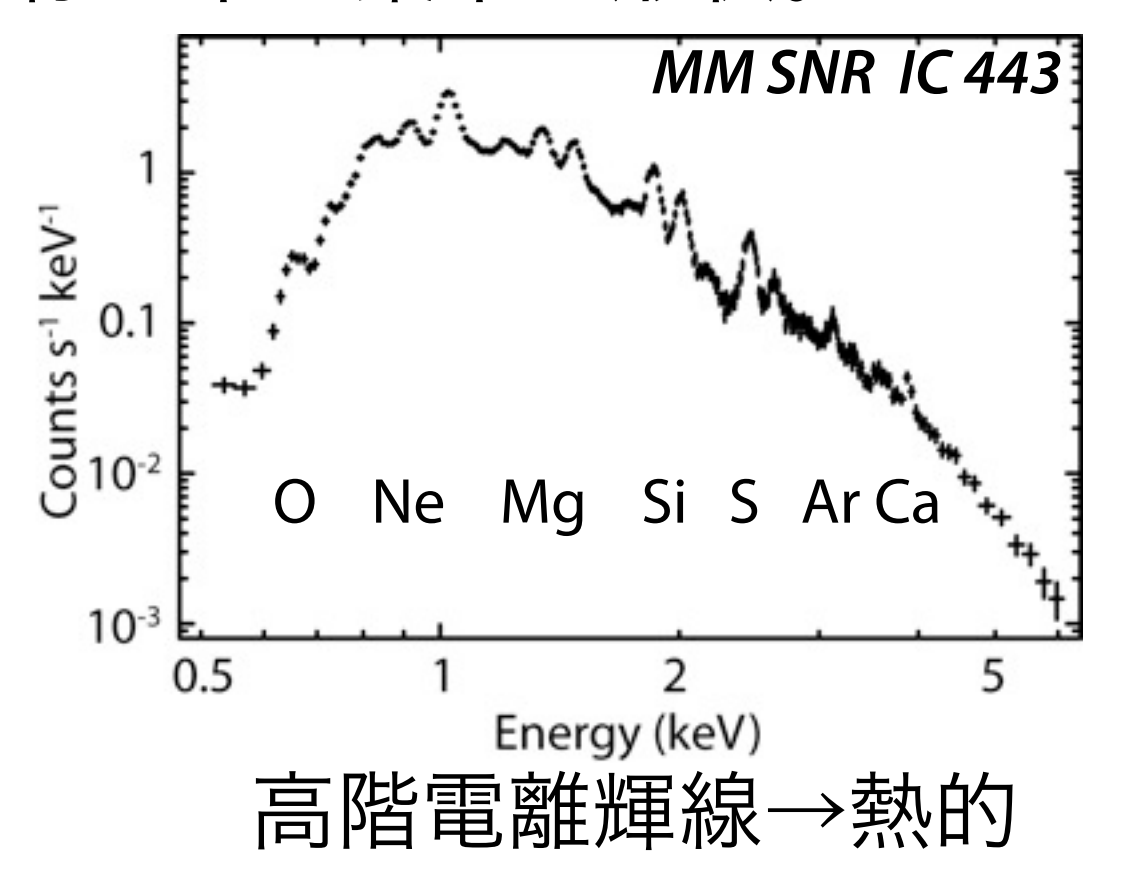
= シェル型でない熱的SNR

- •空間構造=不規則,多樣
- X線放射=熱的

### Mixed-Morphology (MM) SNRs

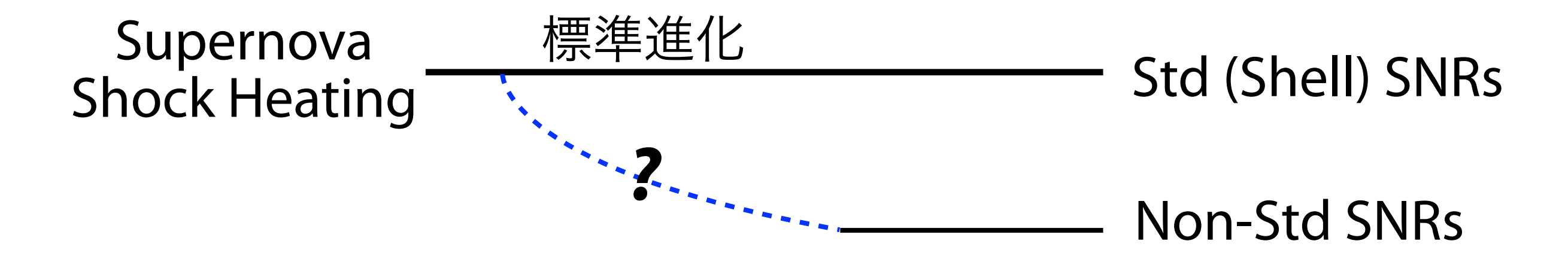
Non-Stdの中でも、多数を占めるもの。 (*Rho+98*) 電波はシェル型だがX線は中心集中の形状。





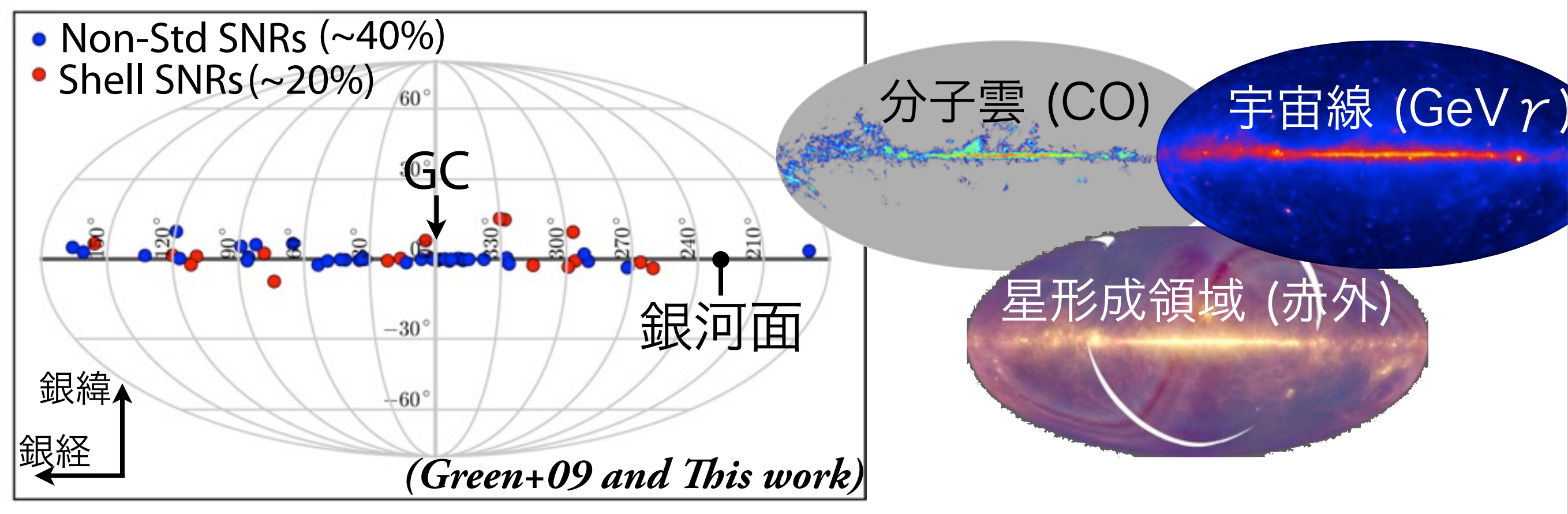
# Motivation & Purpose

- ●標準進化では実現しない多様なNon-Std SNRs
  - → SNR進化の*Missing Branch* (未知の進化過程) があるはず



 Non-Std SNRsに特有の熱的構造があれば、 その形成・進化を解明する鍵となるかも

# Target Selection

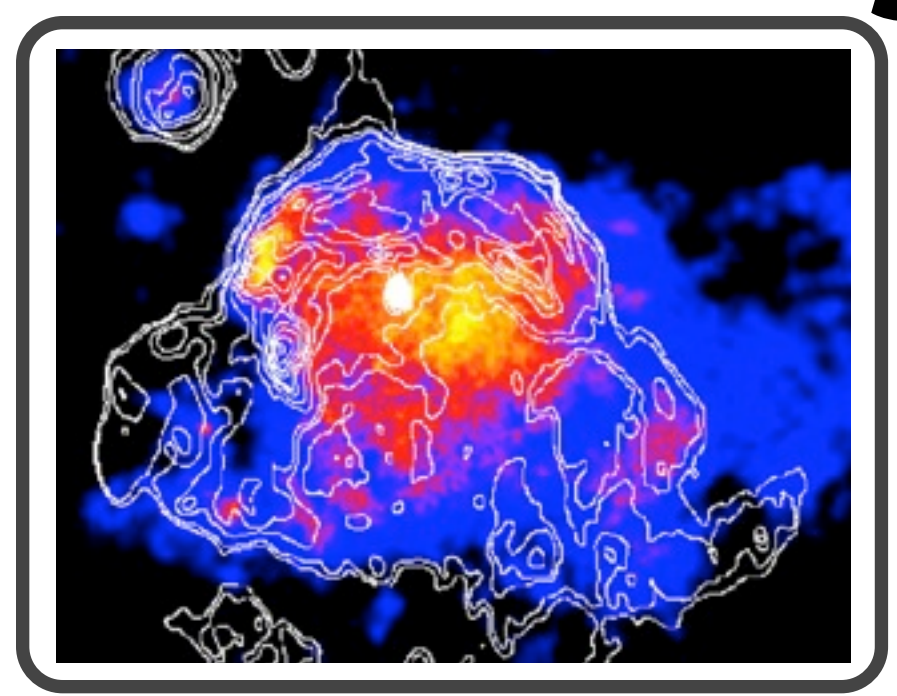


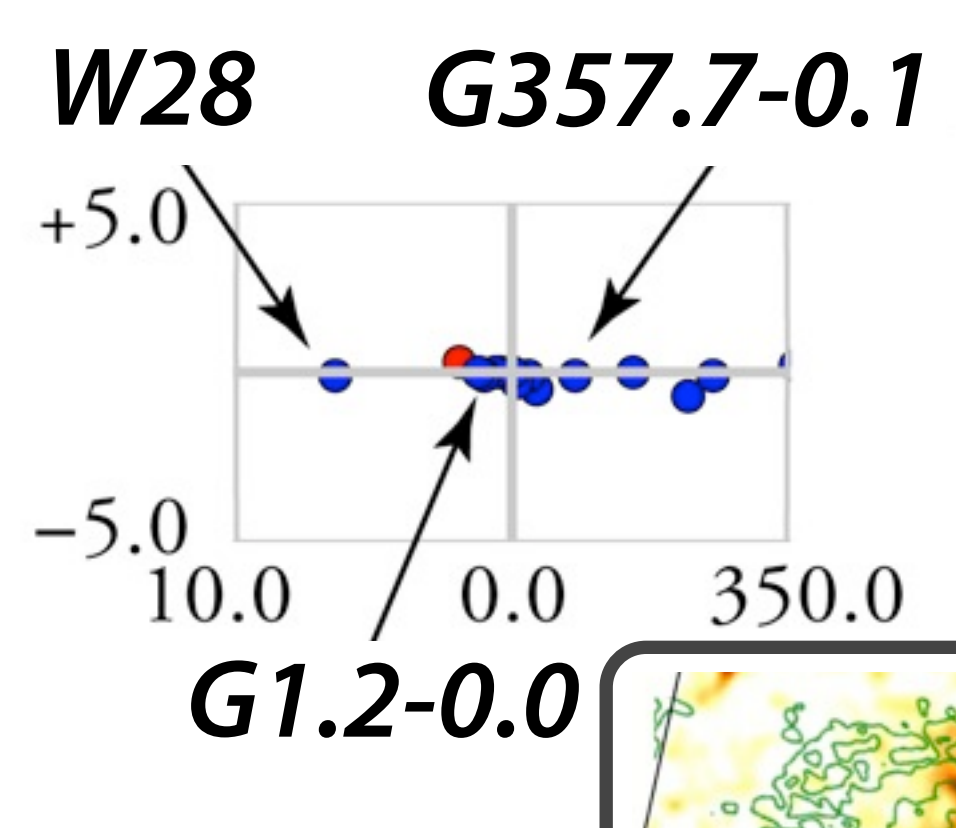
Non-Std SNRsは銀河面、 特に銀河中心(GC)に集中

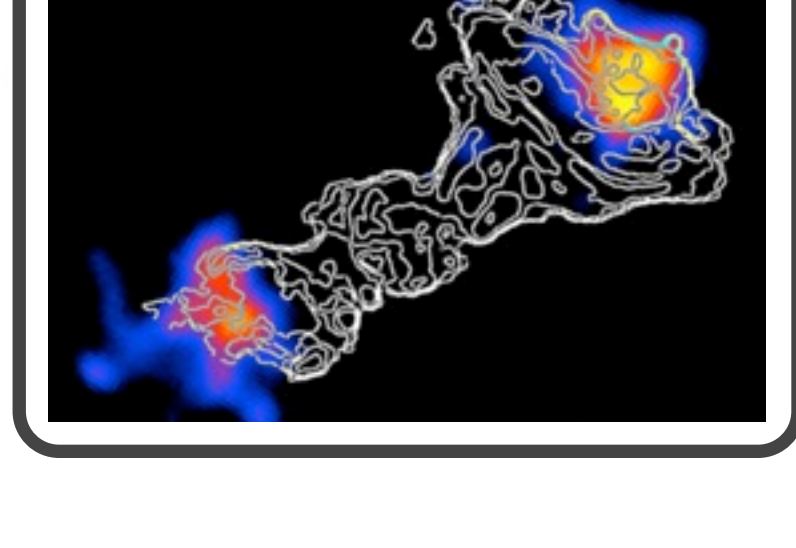
GCは星形成が活発、 高密度な極限領域

標準モデルの仮定とはかけはなれた 極限環境がNon-Std SNRの形成に関連?

# Target Selection



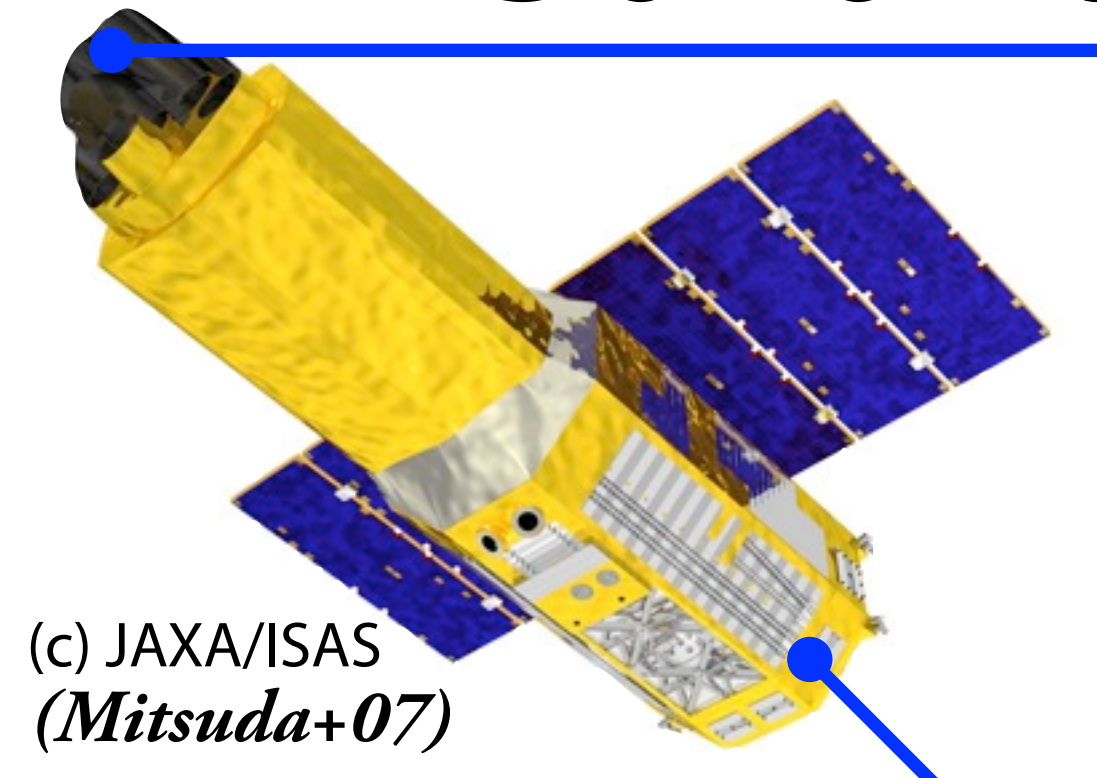




GC領域から、**極めて特異な構造・環境**をもつ 3つのSNRまたはSNR候補プラズマを解析

### 2. Instruments

# Suzaku XRT + XIS



### X-Ray Telescope (XRT)

(Sermitsos+07)

- Wolter type-I X線望遠鏡
- 空間分解能 ~2′
- 視野 (with XIS) ~18'x18'
- 有効面積~1000cm²@1 keV (3台)

### X-ray Imaging Spectrometer (XIS)

X線CCDカメラ

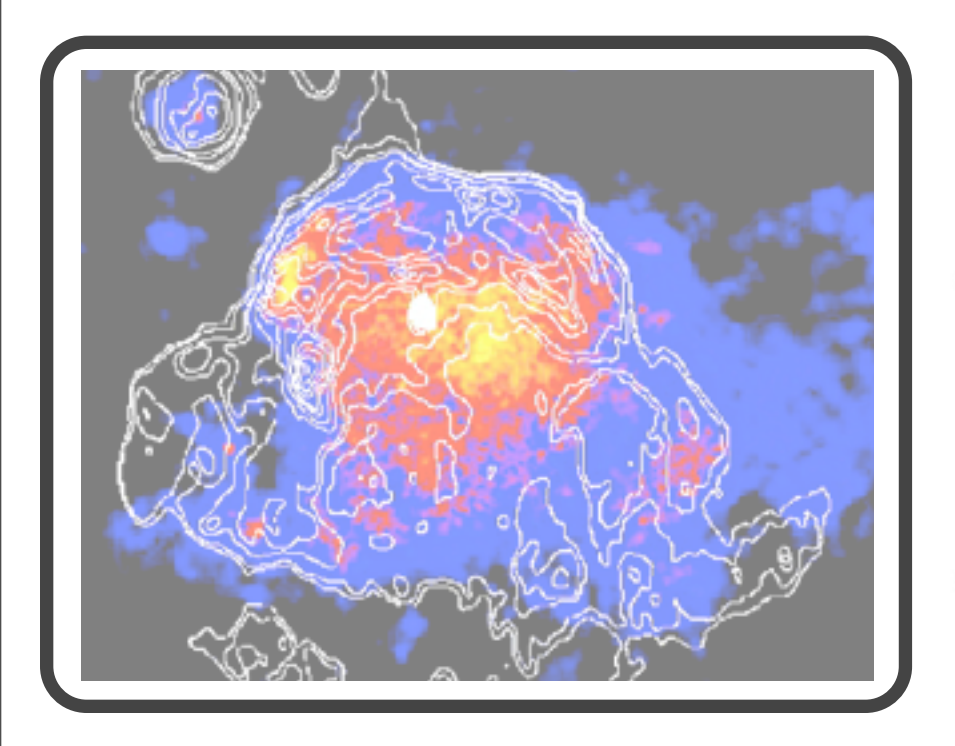
(Koyama+07)

- エネルギー分解能 (打ち上げ時) ~130 eV @6 keV
- 機上calibrationによる高精度の応答関数

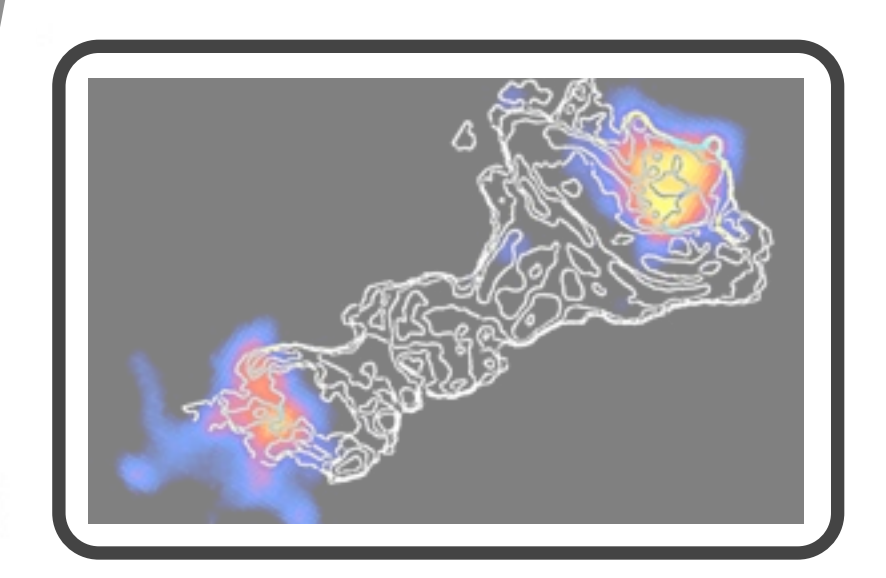
大有効面積+高分光性能

→SNRのプラズマ診断に最適

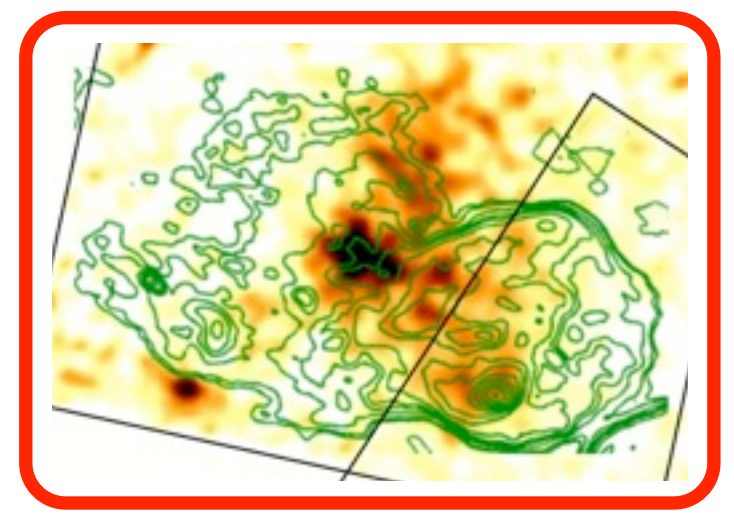
# 3. Results - G1.2



W28 G357.7-0.1 +5.0 -5.0 10.0 0.0 350.0



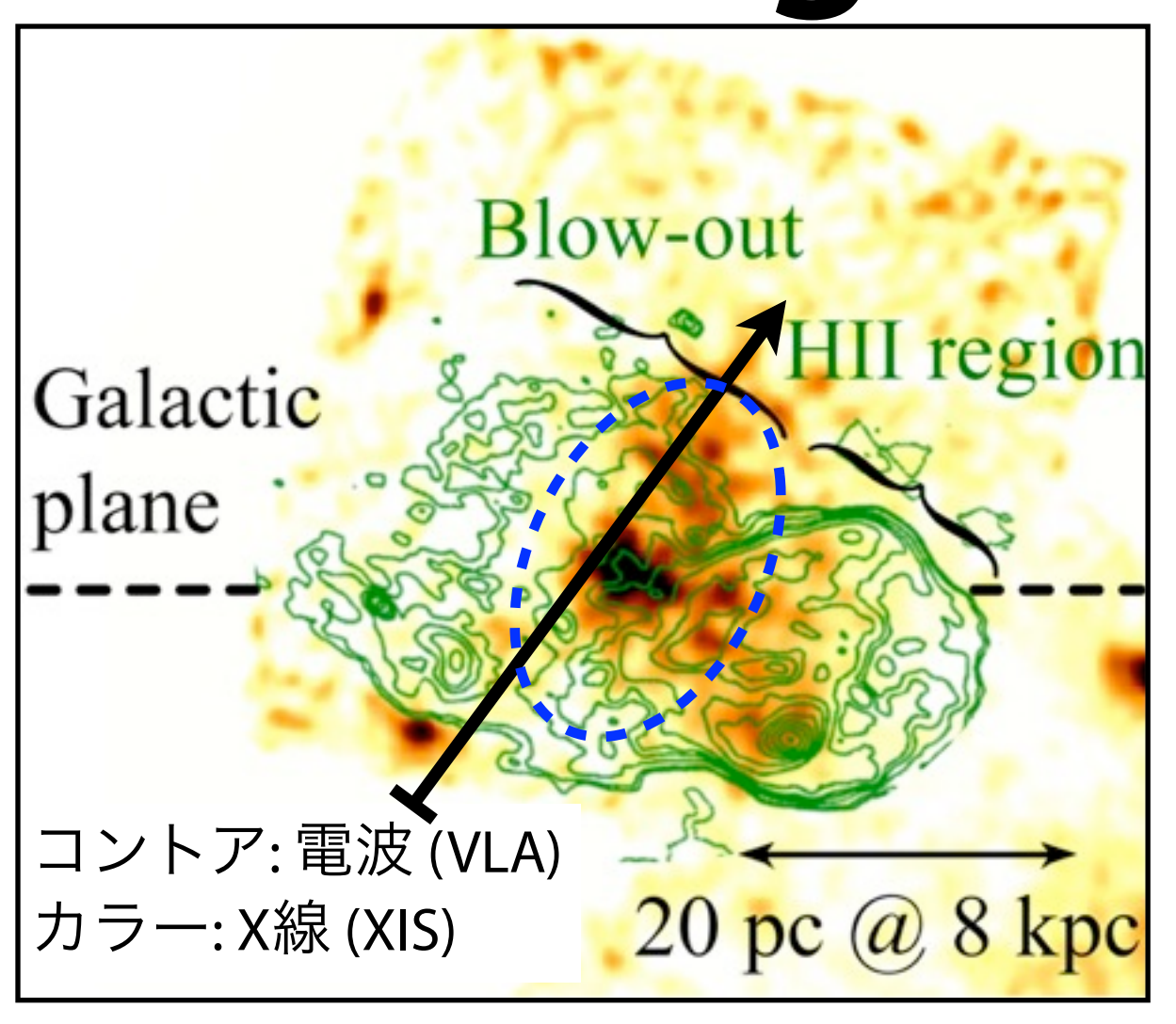
G1.2-0.0

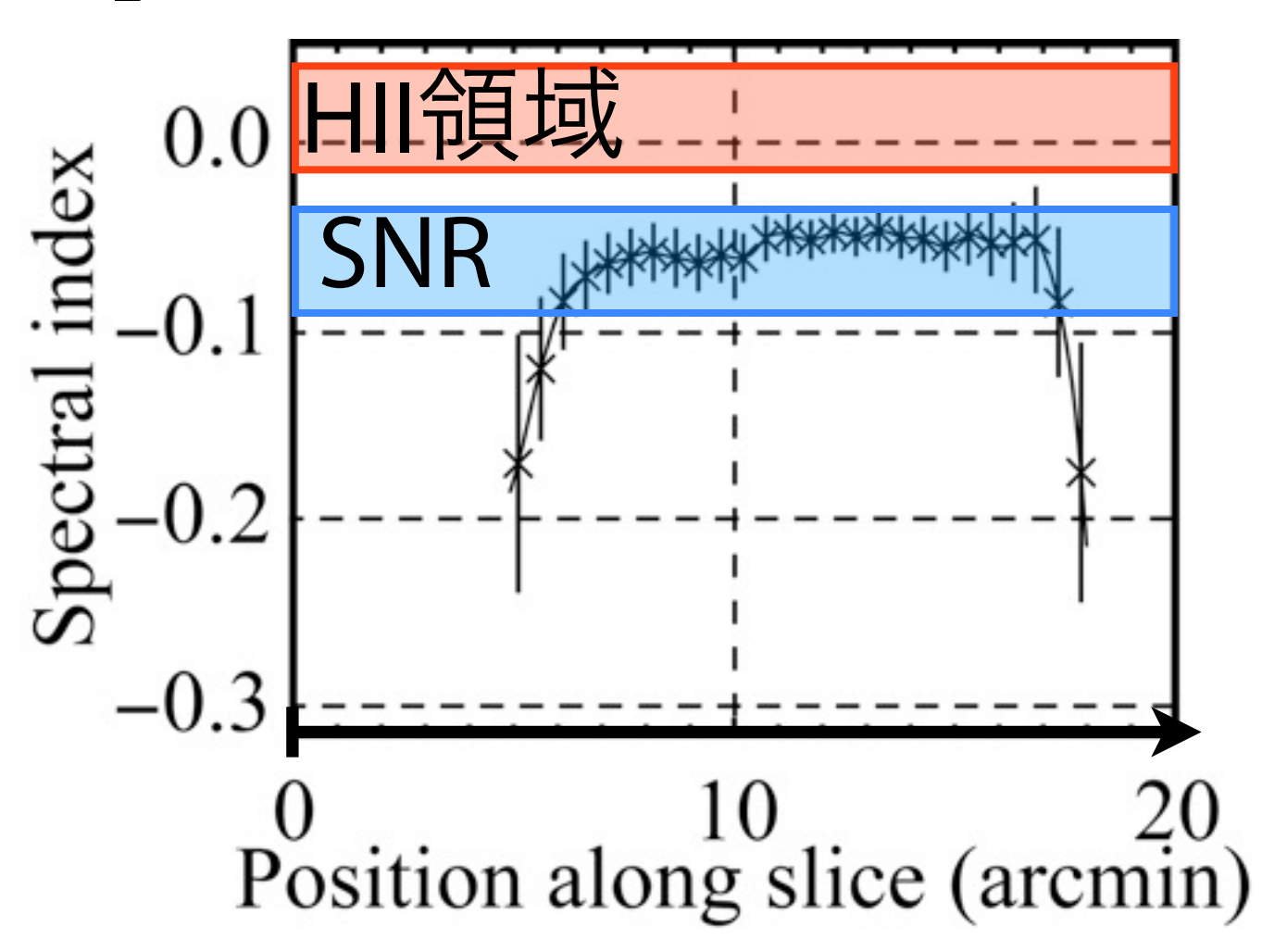


(Sawada et al. 2009)

### 3. Results - G1.2

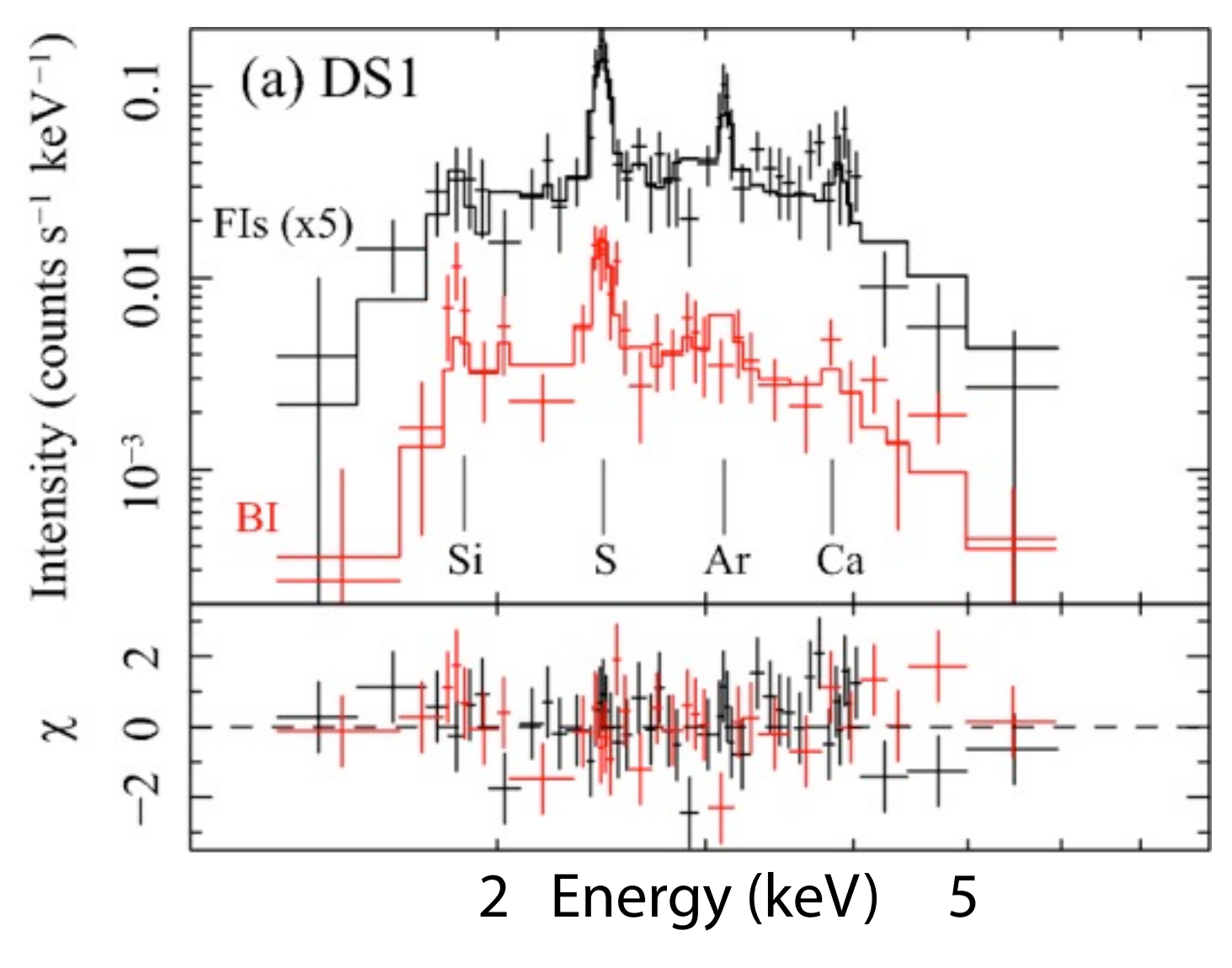
# Image & Spectrum





すざくのGC探査で発見 射手座D 星形成領域の blow-outから~10pcのX線 X線放射に沿って電波放射が 非熱的であることを発見 HII領域(熱的電波源)ではない

# Nature of G1.2-0.0



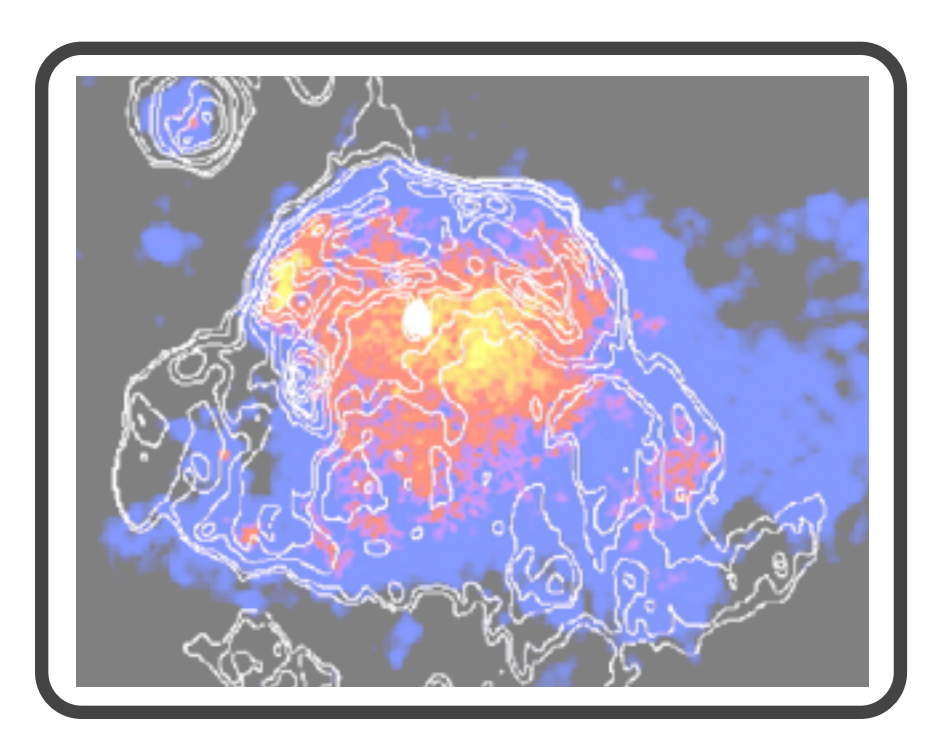
- 強い高階電離輝線
- →温度~0.9 keVの電離平衡 重元素組成 > 1solar

非熱的電波+熱的X線放射

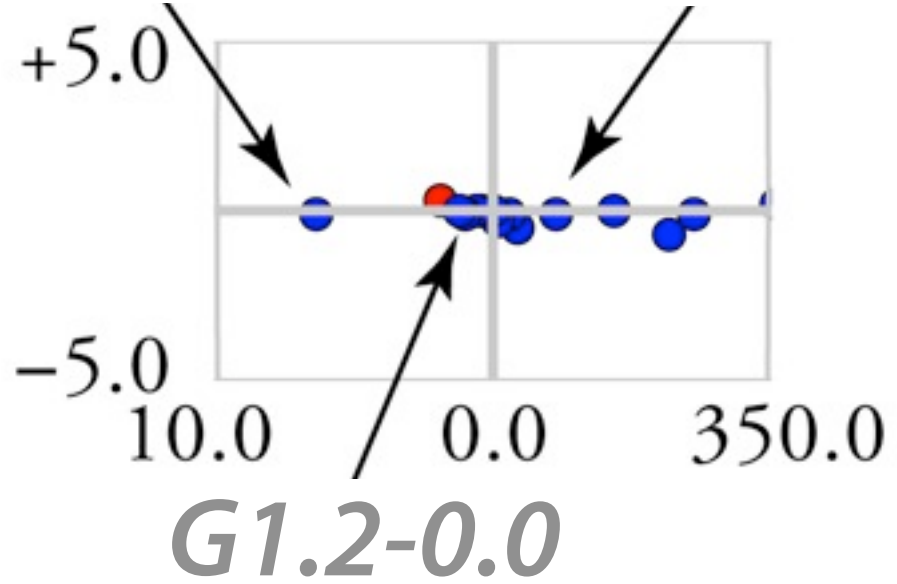
↓ 単一のSNRと確定

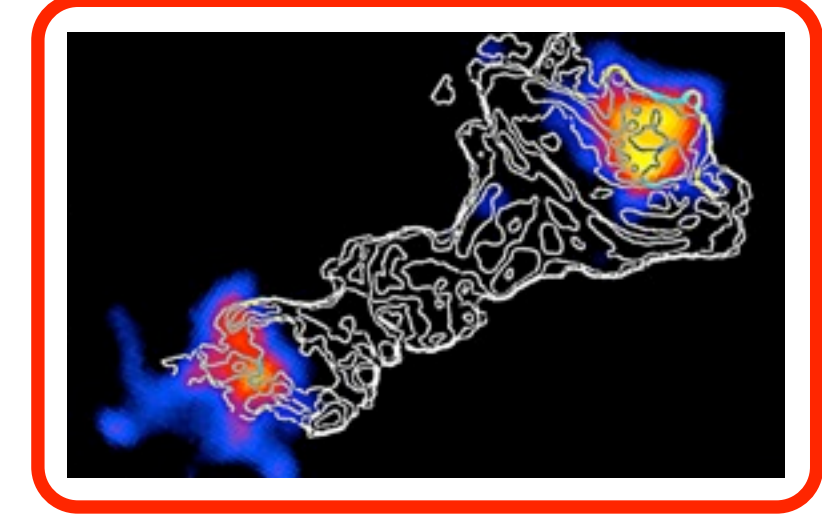
- 星間吸収量~9x10<sup>22</sup> H cm<sup>-2</sup>
- →射手座Dと同じ距離
- 星形成領域からblow-outした空間構造はきわめて特異
- 電離平衡を棄却できず、特別な熱的構造はない

# 3. Results - G357

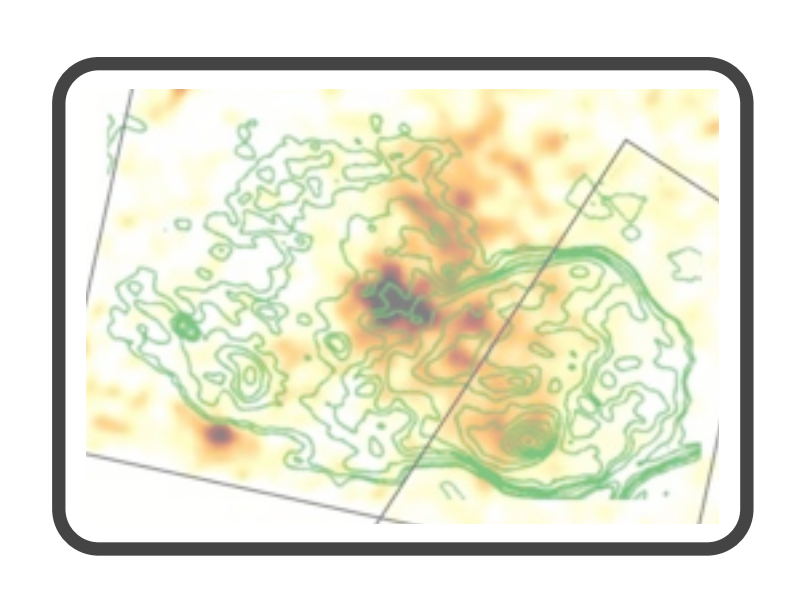






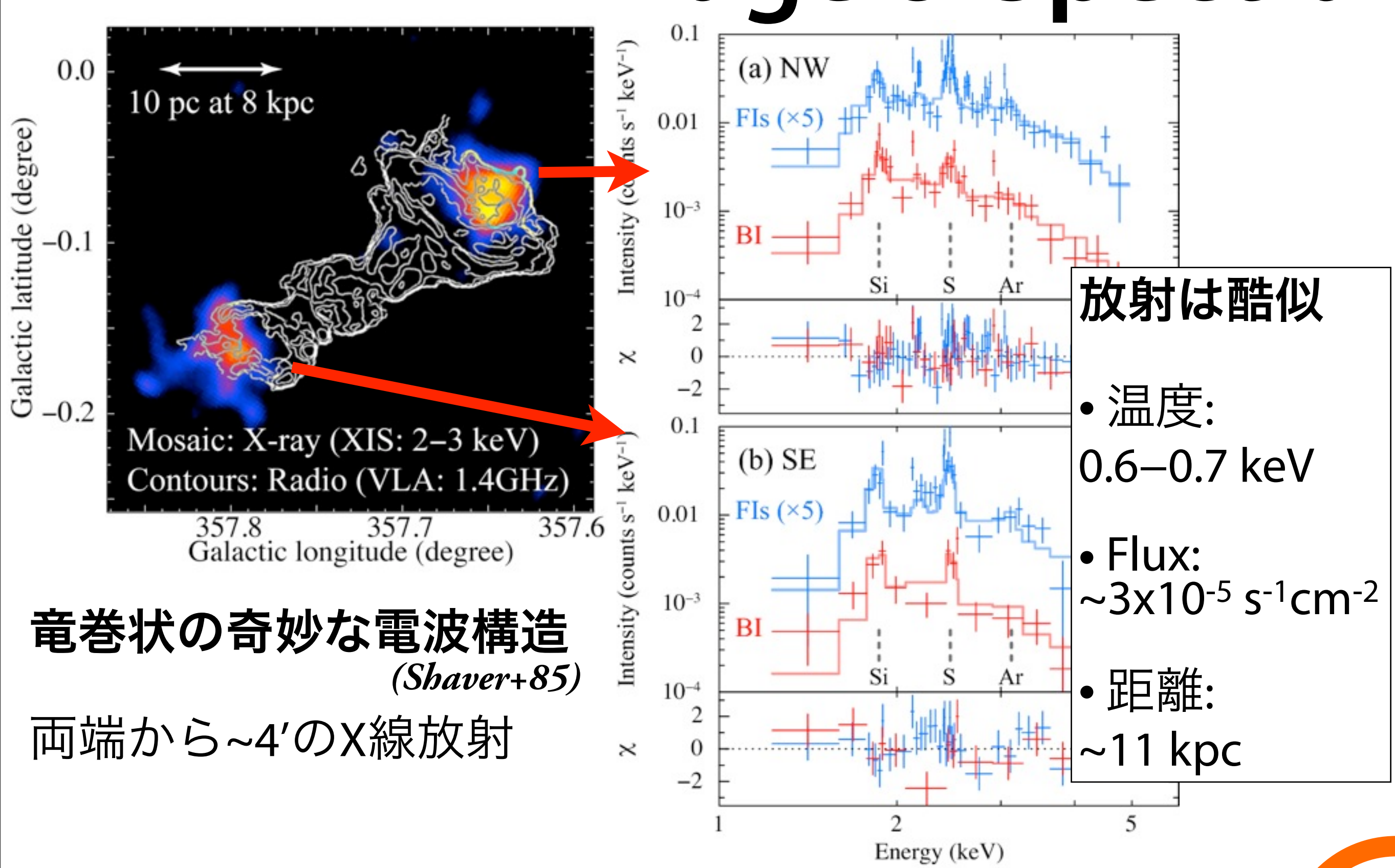


(Sawada et al. 2011)



3. Results - G357

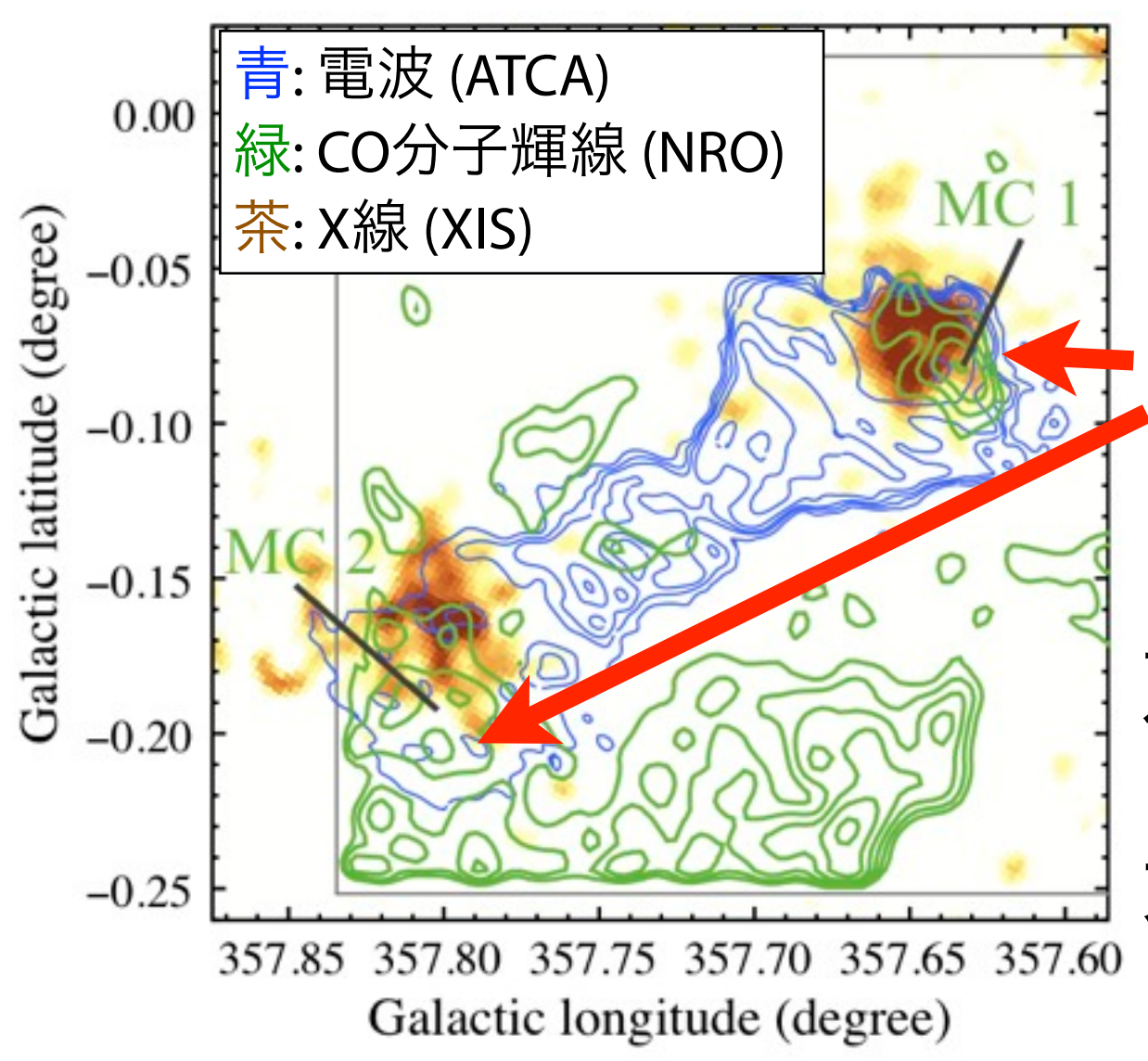
Image & Spectra



→ 同じ起源 ("双子の"プラズマ)

### 3. Results - G357

# Nature of G357.7-0.1



双子プラズマと電波構造は 同じ距離(~12 kpc)

衝撃波に励起された分子雲を発見

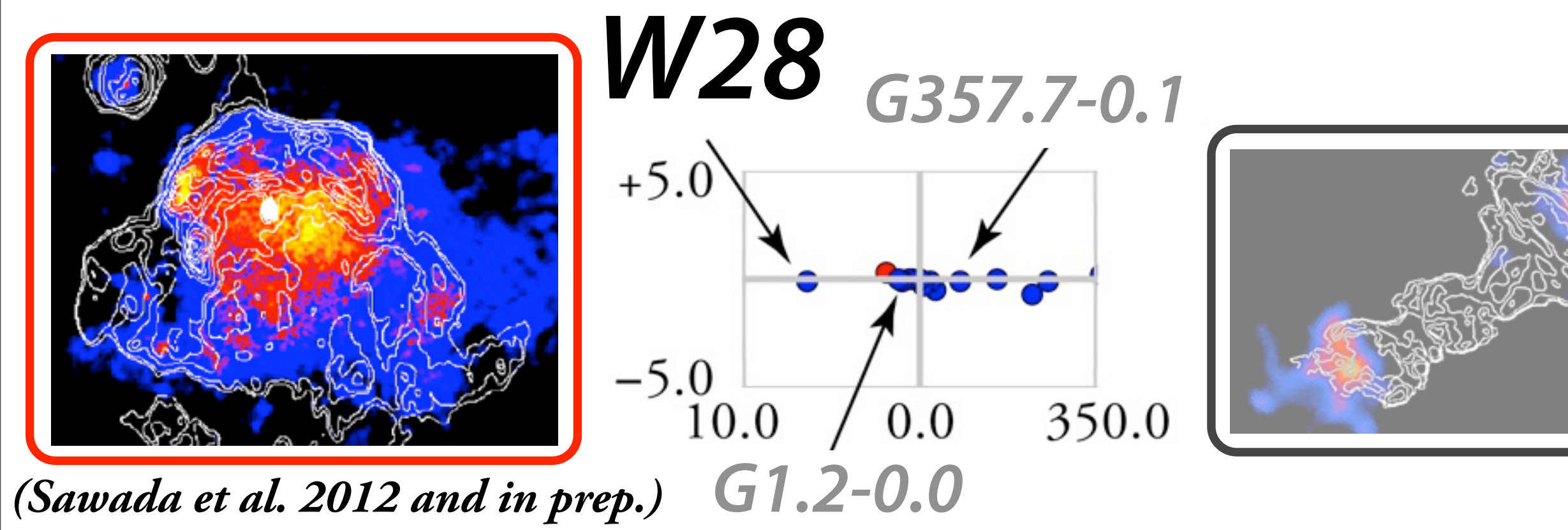
プラズマの起源:

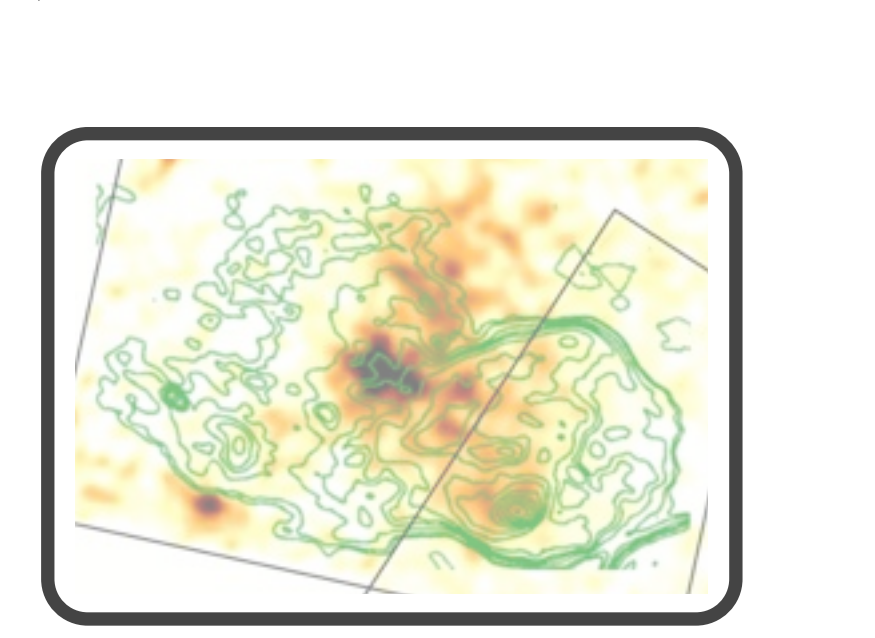
双極アウトフローと分子雲の衝突

大質量星の双極爆発か?

- 双極爆発による双子のプラズマ構造はきわめて特異
- 熱的には電離平衡を棄却できず、特別な構造はない

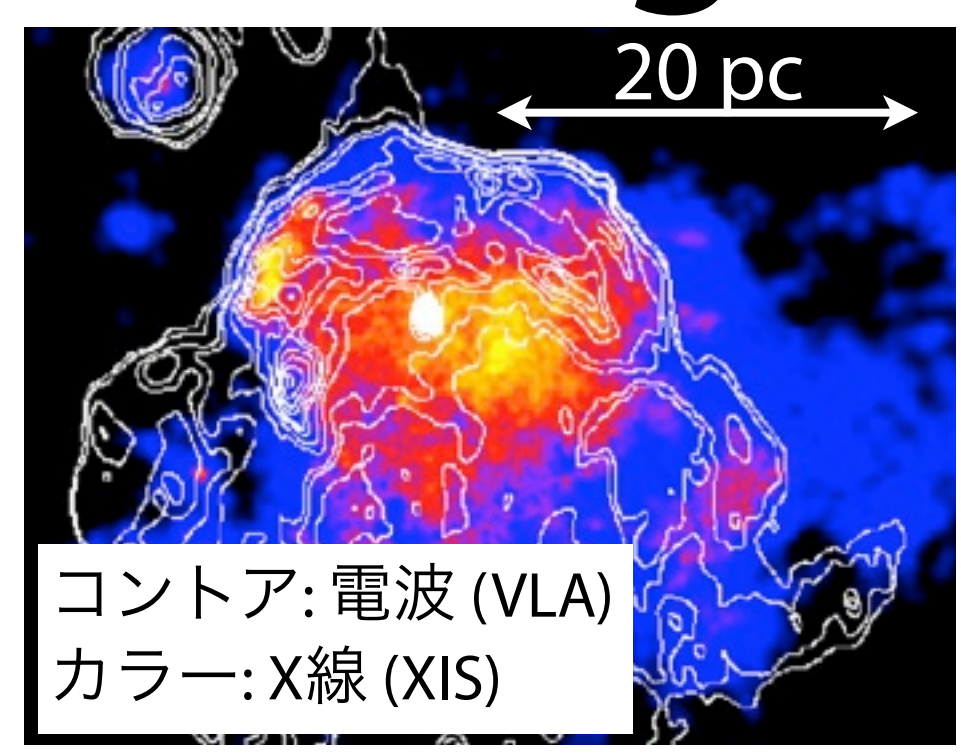
# 3. Results - W28

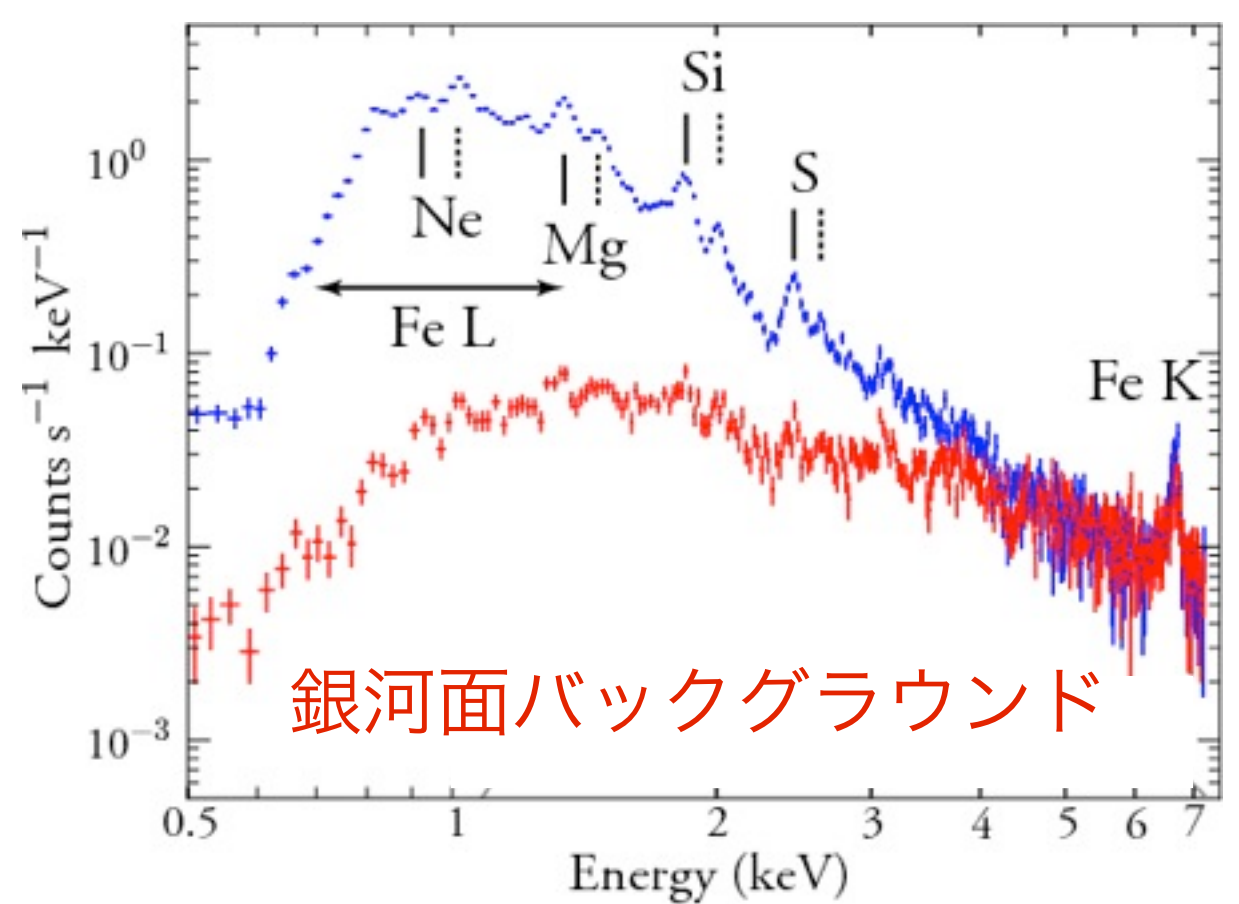




### 3. Results - W28

# Image & Spectrum





MM SNR候補

ASCA: (Rho+98,02) ~7 keVまでの硬いX線放射

異常に高い温度(~2 keV)

⇔MM SNRの典型値 (<1 keV)

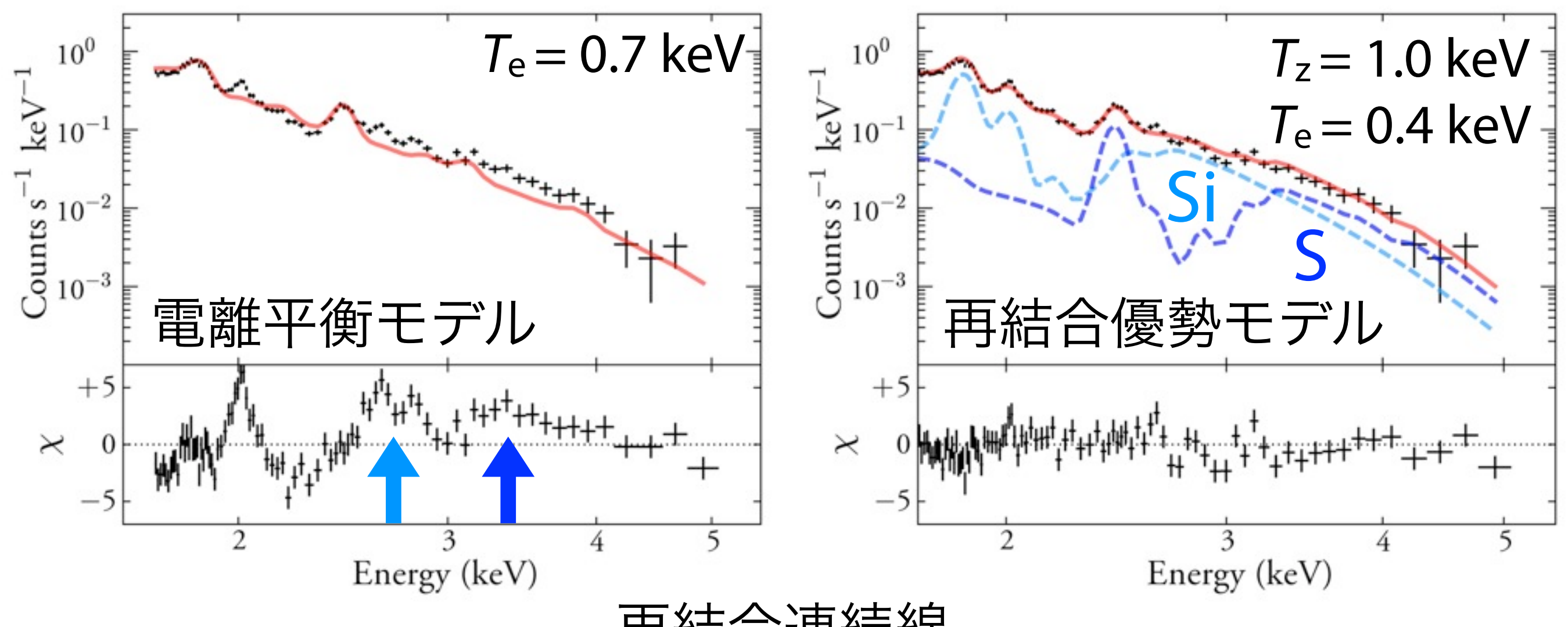
Suzaku XIS:

>5 keVに有意な放射なし

ASCAが検出した~7 keVまでの 硬X線放射を否定。

### 3. Results - W28

# Discovery of Recombining Plasma (RP)



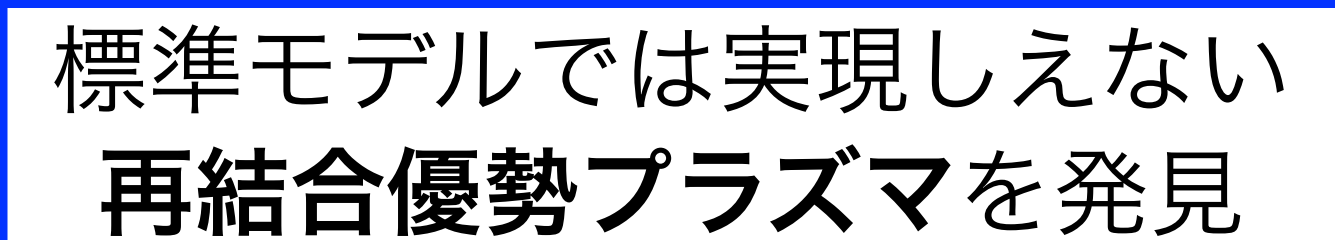
再結合連続線

バンプ状のexcess

~ 2.7 keV: He状 Si K

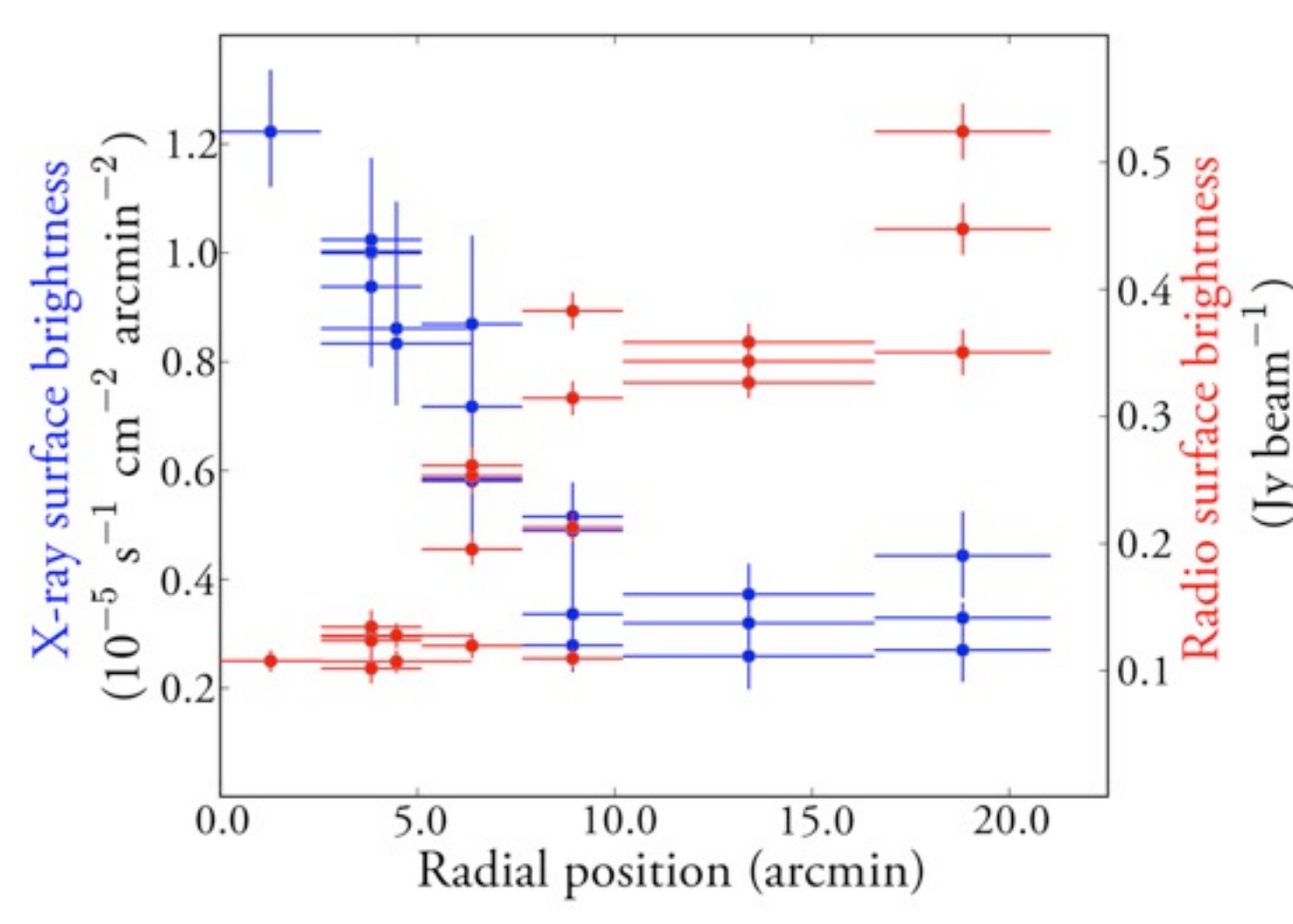
~3.2 keV: He状 S K





# Nature of W28

- ・空間構造X線放射は中心集中型で、電波シェルの内側を満たす→MM型をconfirm
- スペクトル 異常に高温な成分を否定 むしろ典型的なMM SNRで あることを解明



- 空間構造・温度はごく典型的なMixed Morphology型
- 熱的には標準進化では実現しえない再結合優勢状態

### 3. Results

# Summary of Results

Object	空間構造・環境	熱的構造
G1.2-0.0	星形成領域での爆発 によるblow-out	電離平衡
G357.7-0.1	大質量星の双極状の 爆発と分子雲の衝突	電離平衡
W28	中心集中 & 低温の ごく典型的なMM SNR	再結合優勢

- いずれもきわめて特異な空間構造・環境をもつ
- 典型的MM SNR, W28が唯一熱的にも特異 (再結合優勢)

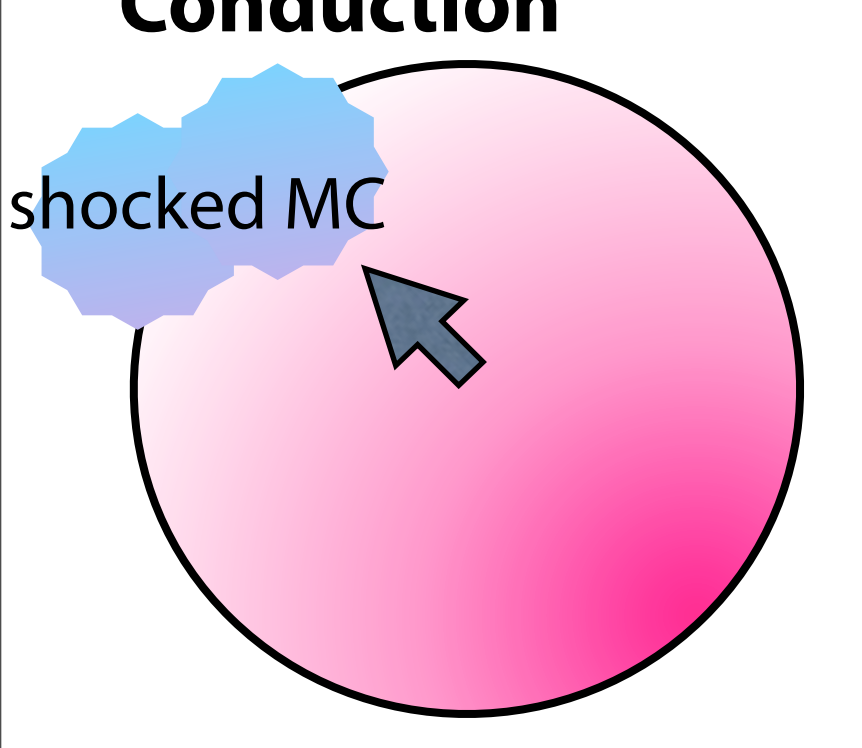
# Discussion

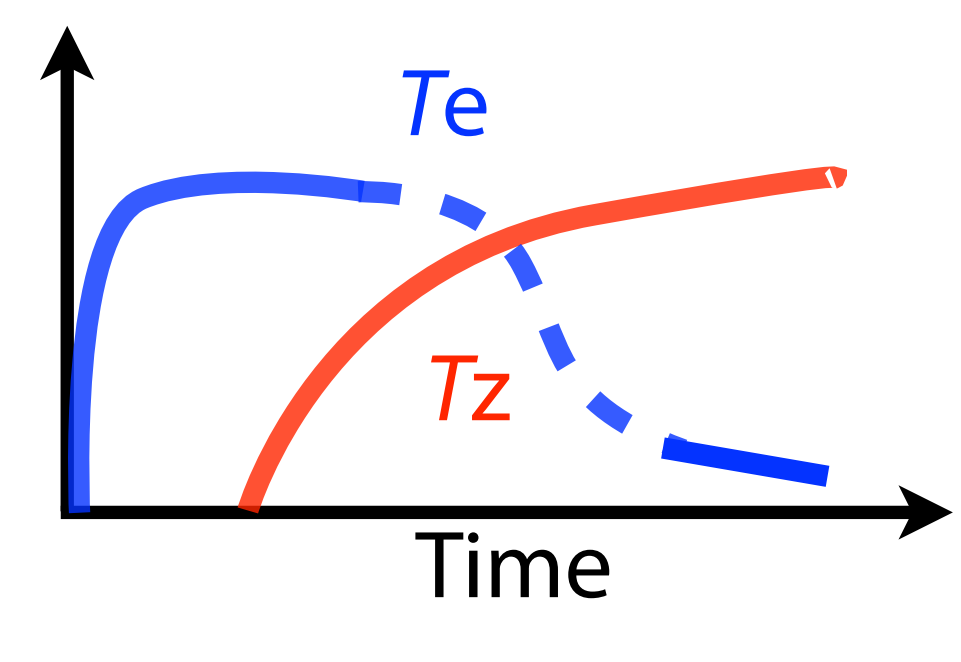
- すざくがこれまで発見した3つのRPIC 443, W49 B, G359.1-0.5 とあわせ、4例目
- RPは典型的なMM SNRのみから発見された。 (Yamaguchi+09, Ozawa+09, Ohnishi+11, This Work, Uchida+12)
- W28の良質なスペクトルを用い、 RP-SNRsで最も精密・詳細な解析を行い RPの形成メカニズムにせまる。

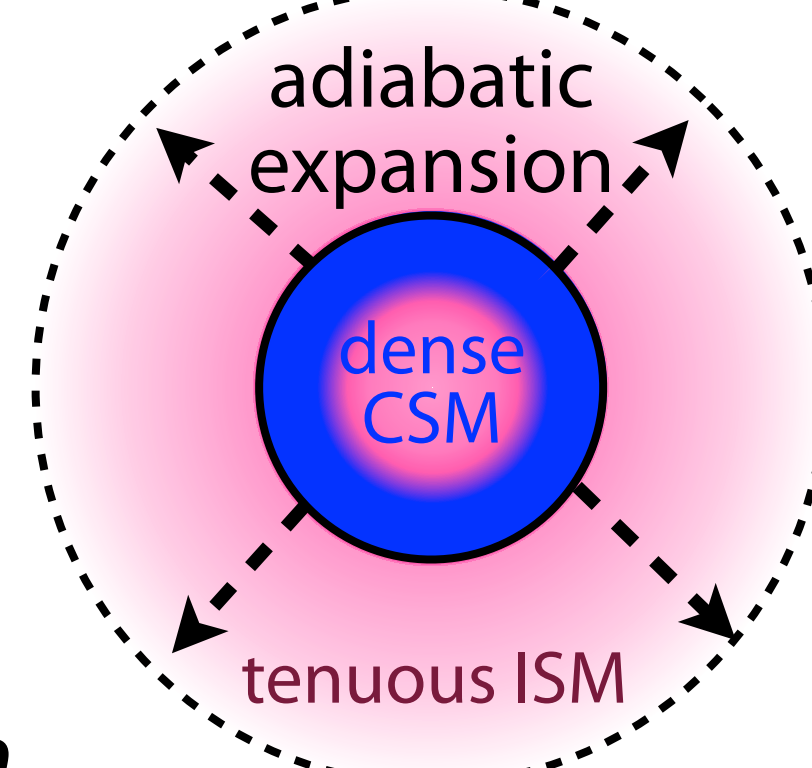
# Possible scenarios

Conduction Case 1: Electron cooling









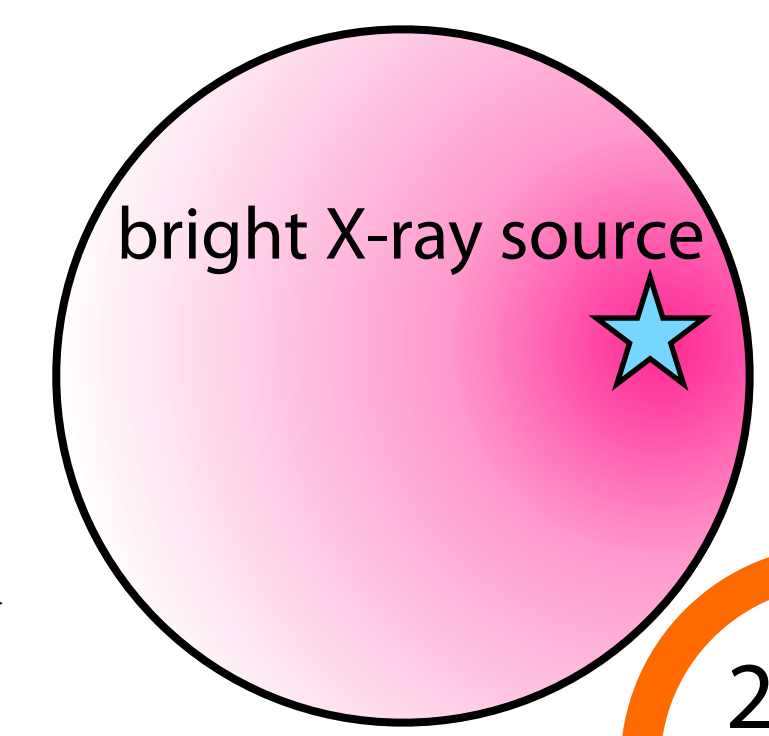
Case2: Selective ionization

### **Supra-thermal particles**

# CRacc. site

# Te Tz

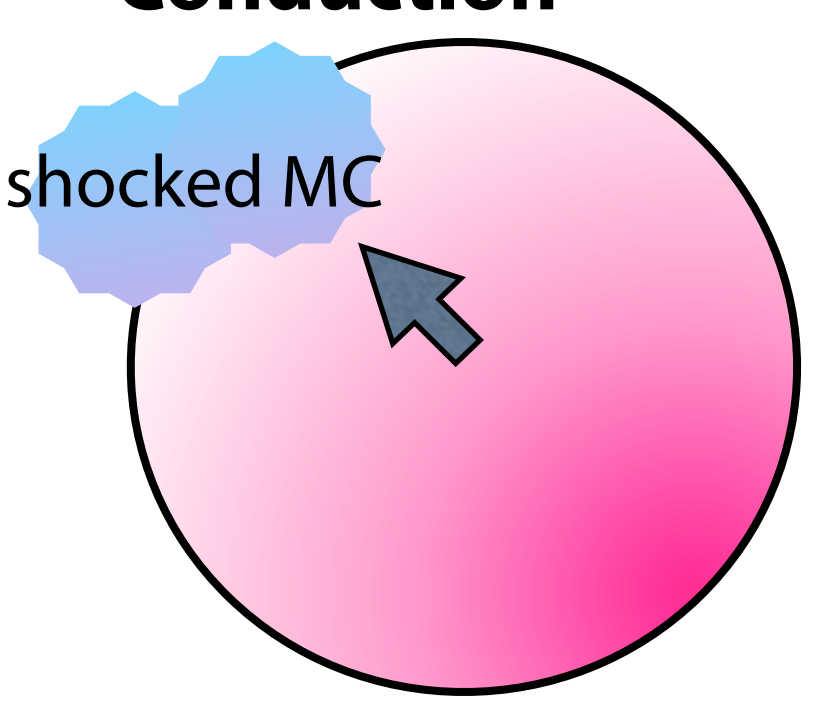
Time

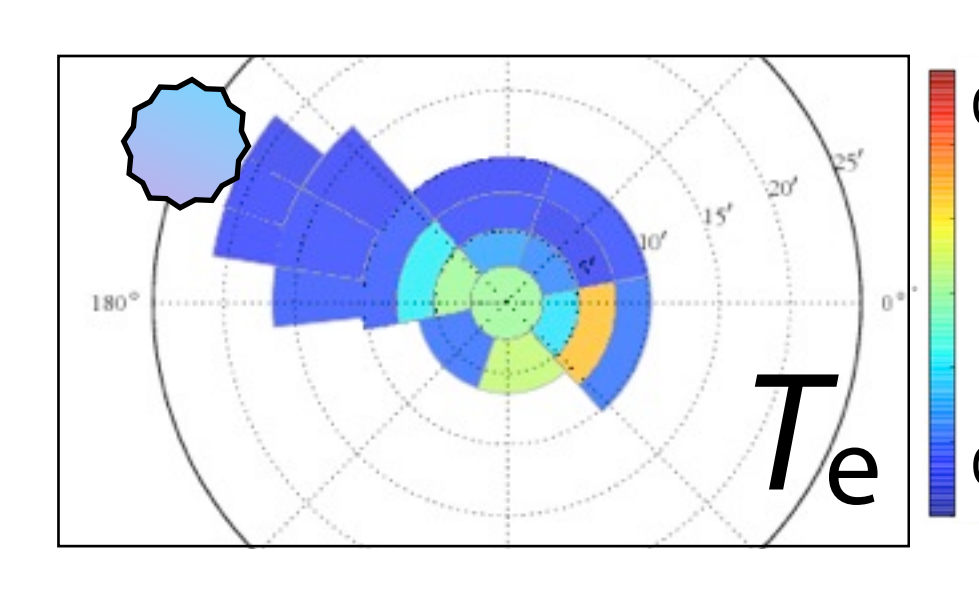


**Photo-ionization** 

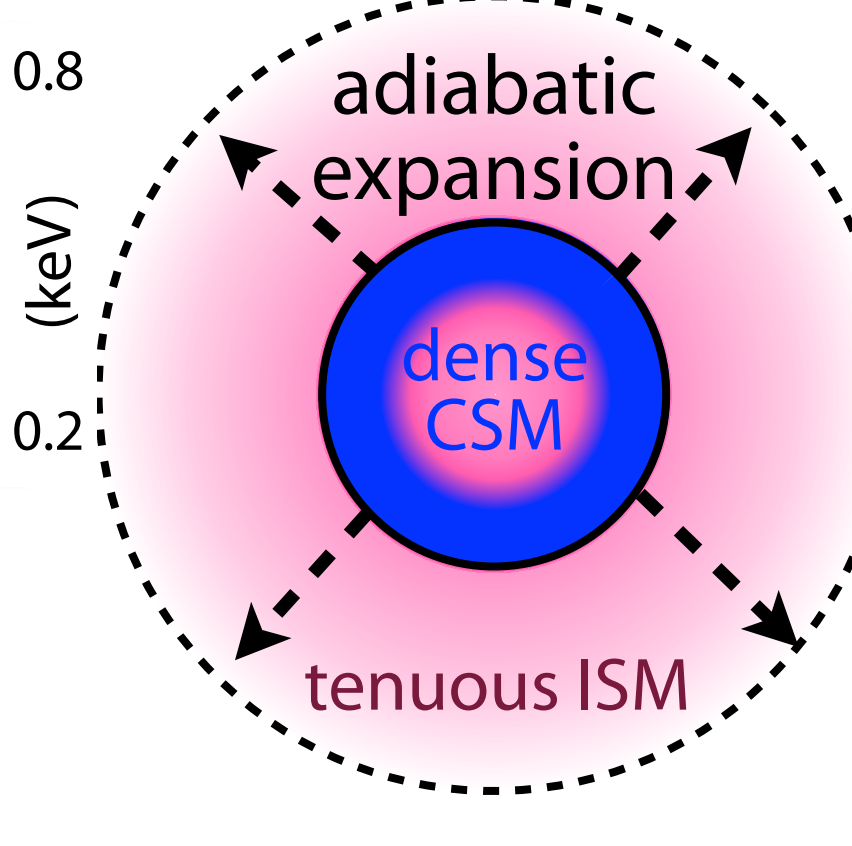
# Possible scenarios

### **Conduction**



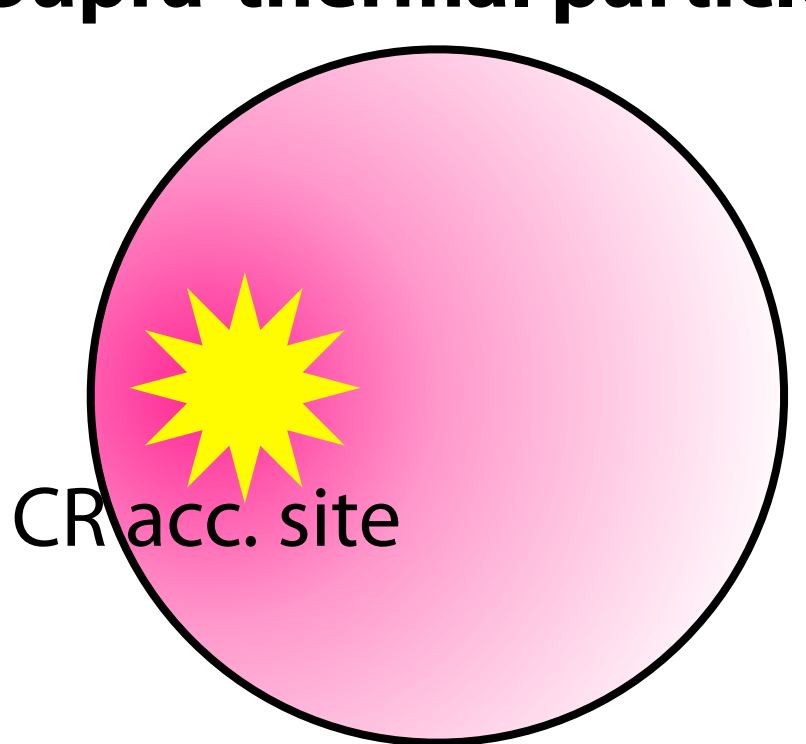


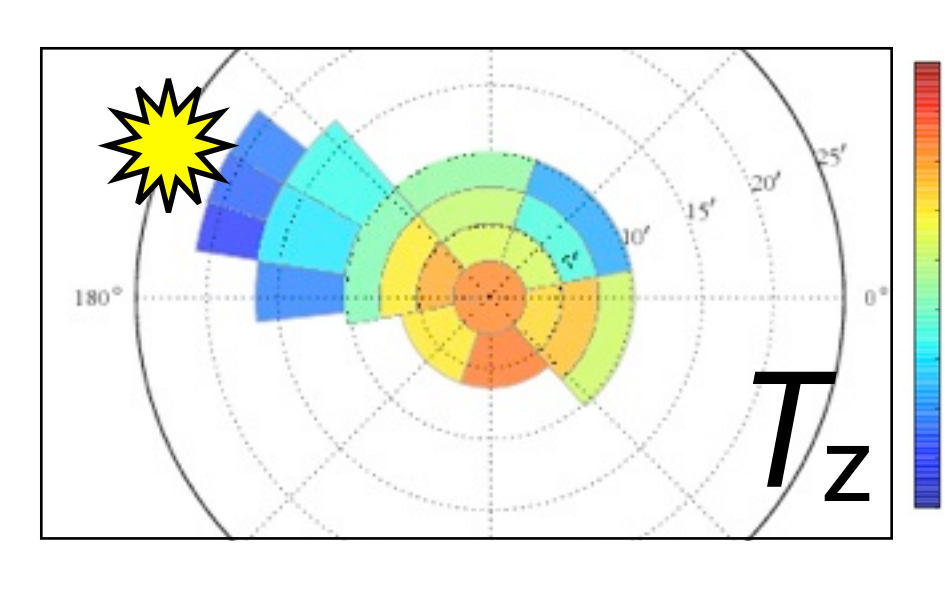




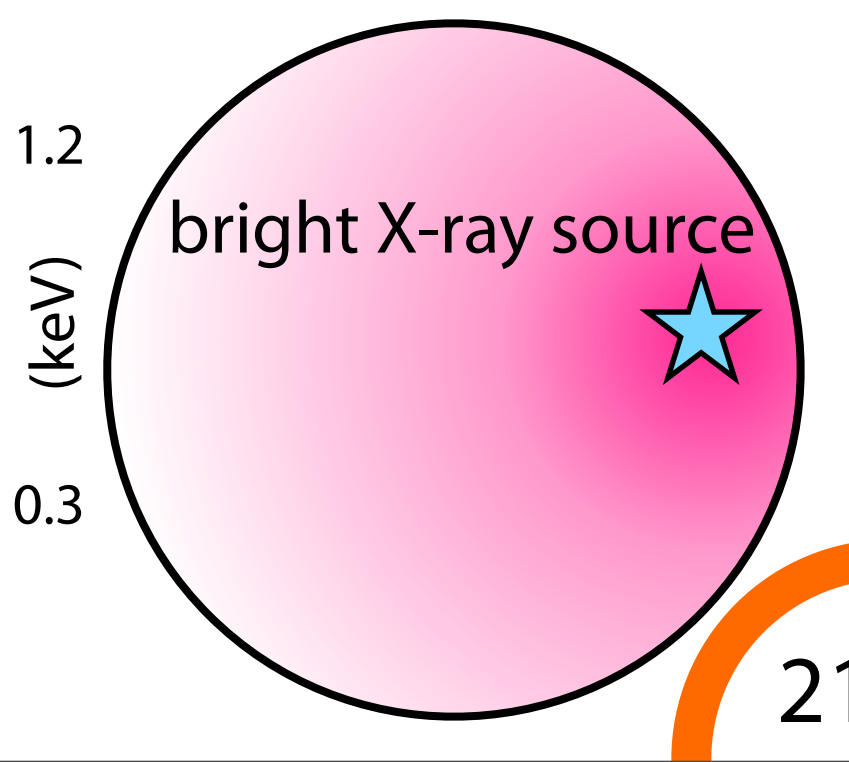
Spatial distribution of RP in W28
• (Sawada+ in prep.)

### **Supra-thermal particles**

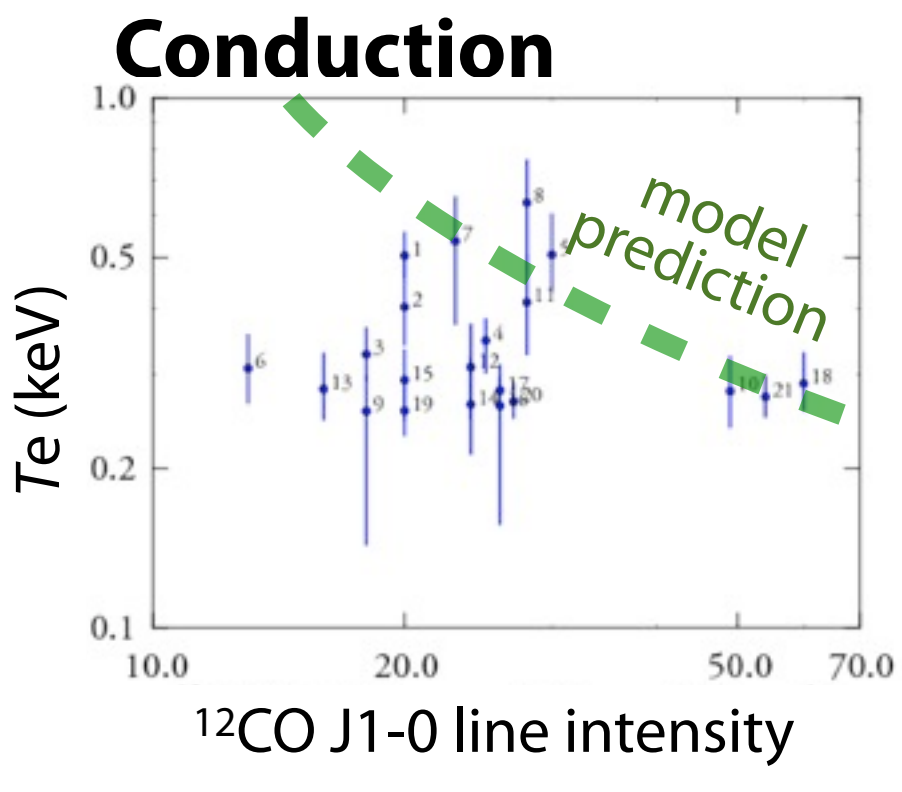


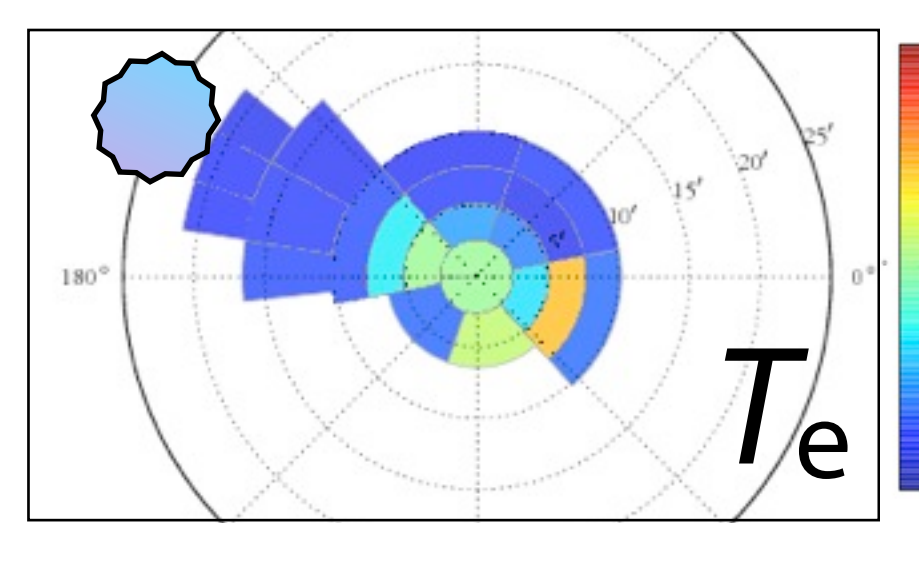


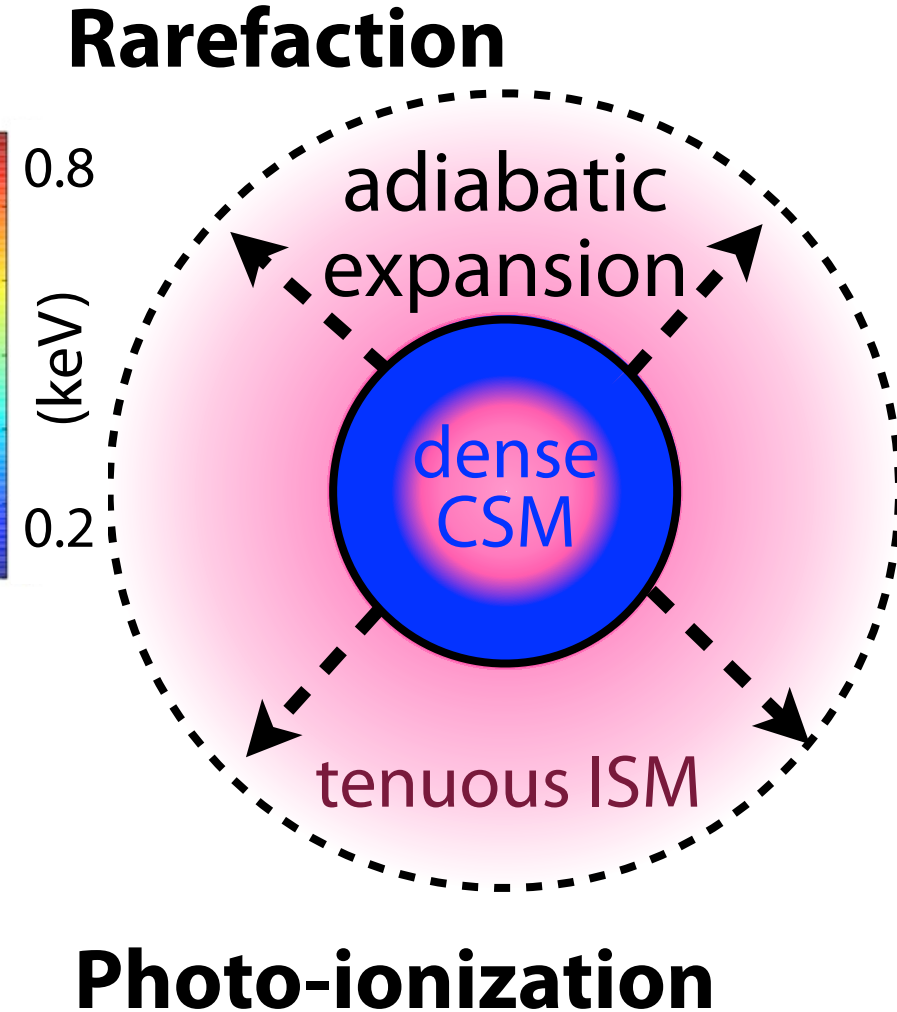




# Possible scenarios

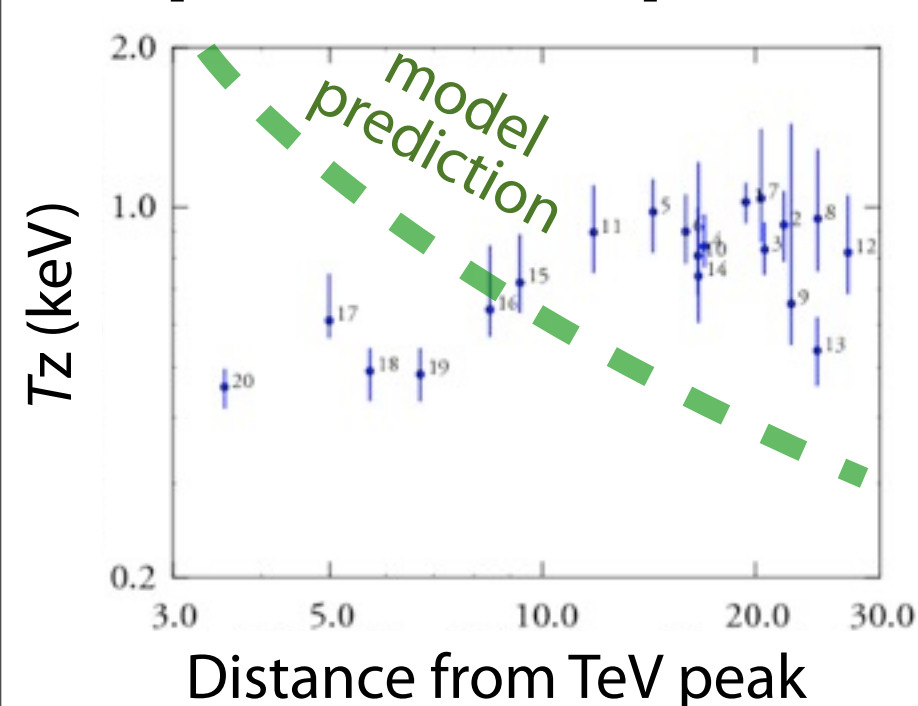


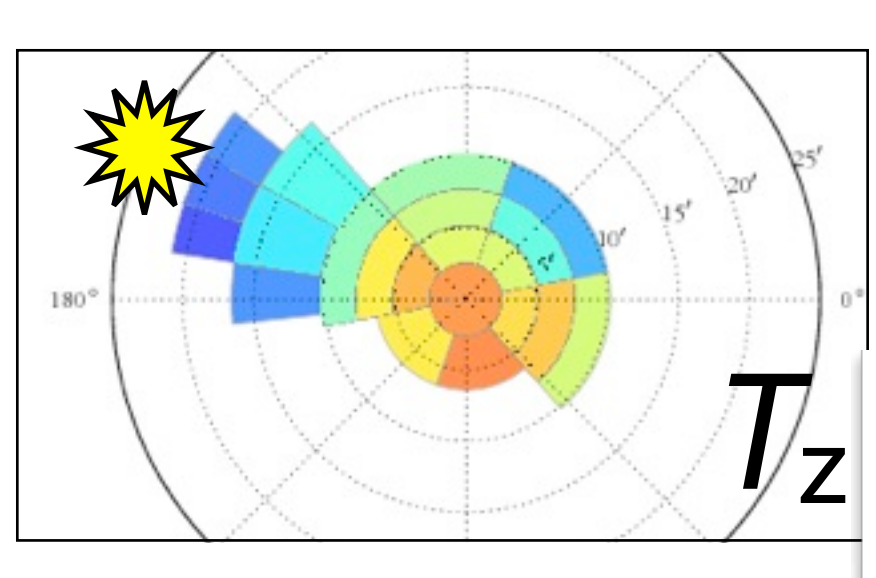




Spatial distribution of RP in W28 (Sawada+ in prep.)

**Supra-thermal particles** 







No bright source at present.

# Elemental Distribution of $T_z$

衝突電離・再結合の特性時間→元素により異なる。

- 1. Formation of RP
- a. Photo-ionization @ GRB 非常に明るいため完全電離
- $(>10^{44} \text{ erg/s} \Leftrightarrow \xi>4.5)$
- ⇒電離温度は元素間共通
- b. Rarefaction

衝突電離

- ⇒電離の特性時間を反映し
- て電離温度がばらつく。

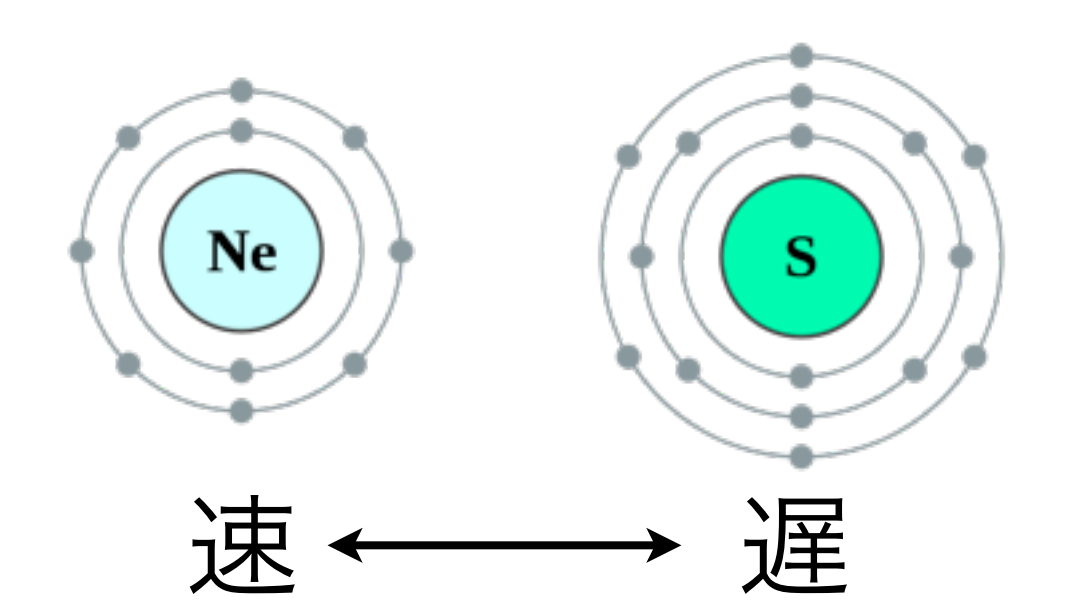
2. Relaxation of RP

再結合の特性時間を反映し $T_z$ がばらつく。

# Elemental Distribution of $T_z$

再結合の特性時間→元素により異なる

基本的にはZ依存性



再結合する電子の数が異なる ⇒重い元素ほど時間がかかる ・結合殻K→Lでの7½降下 (Feのみ)

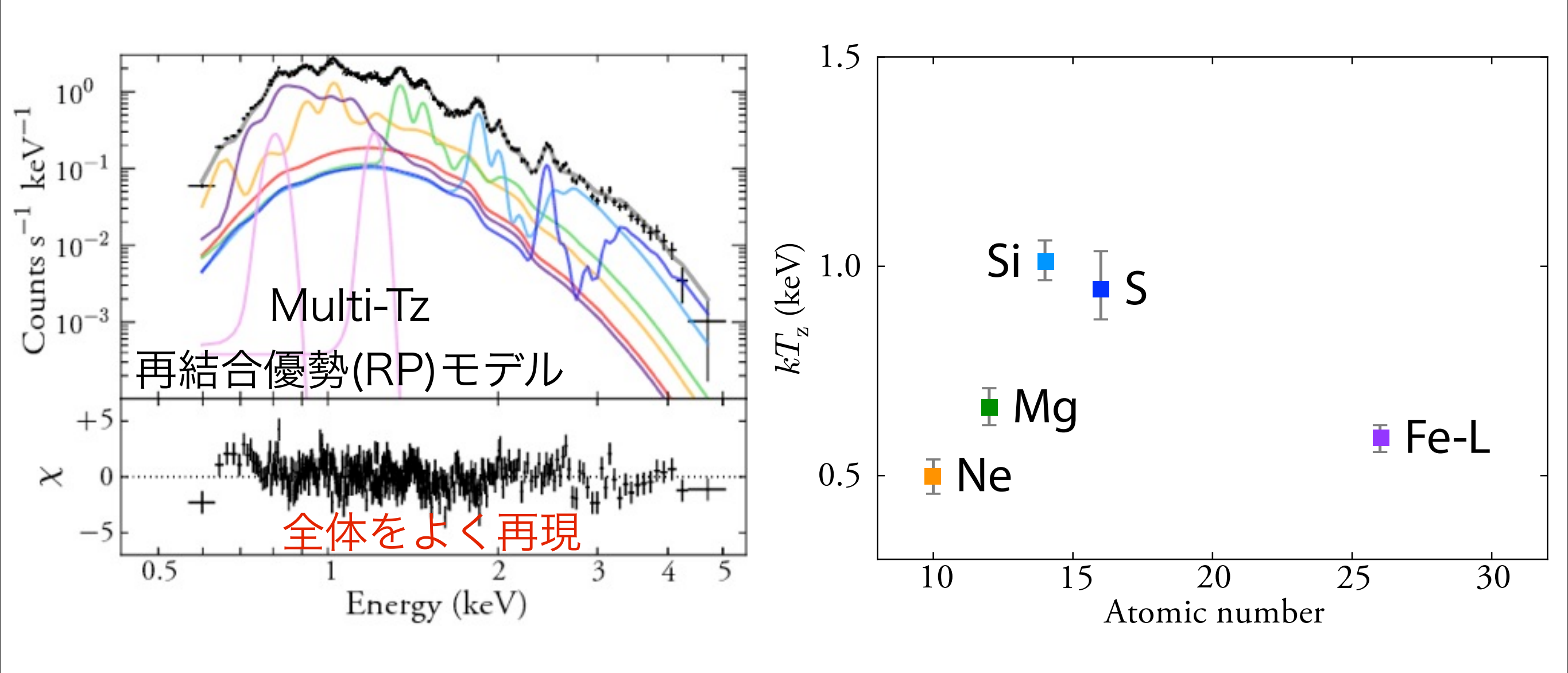
Tz~最外殻電子の束縛E

He-like→Li-likeに再結合する際、 T<sub>z</sub>が急激に低下

※L殼まで再結合が進むのはFeのみ

• T<sub>z</sub> (Si, S) > T<sub>z</sub> (Ne, Mg, Fe) を期待

# Elemental Distribution of $T_z$



Si, Sで高いTz。軽いNe, MgおよびFeでは低いTz

→定性的には再結合の特性時間で説明可能

# Elemental Distribution of $T_z$

RP形成(赤)以後の緩和過程(青)をsimulate

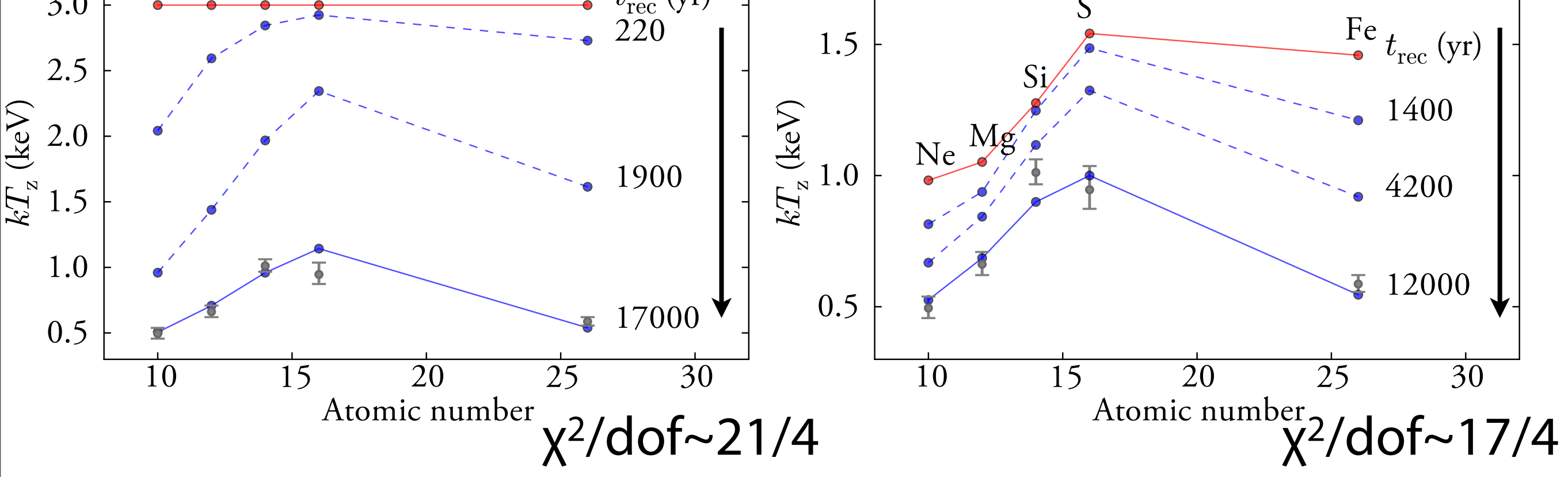
(a) Photo-ionization;

(b) Rarefaction;

衝突電離→元素間で初期なばらつく

完全電離→元素間で初期な共通

Ne Mg Si ' S 3.0

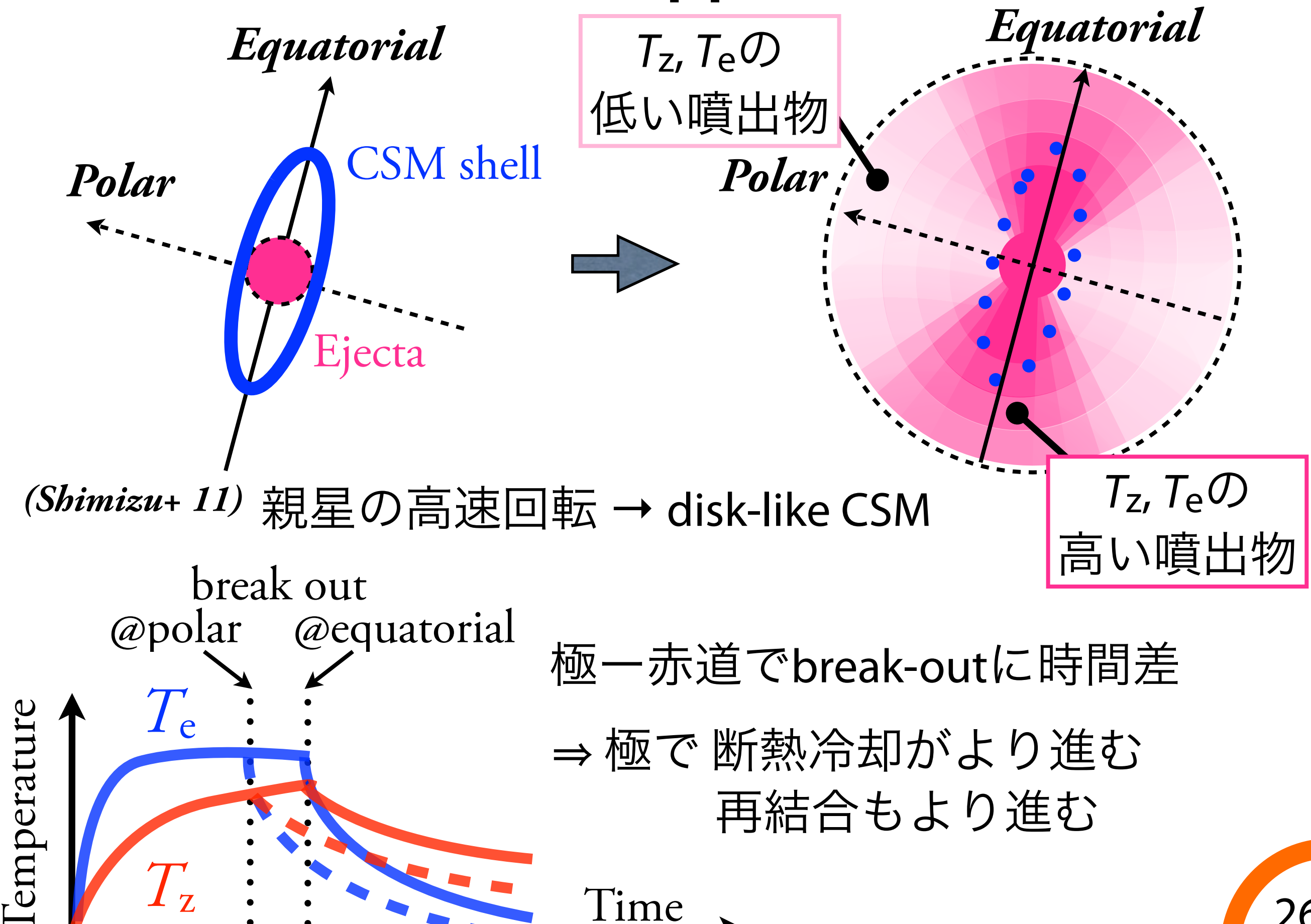


いずれも観測されたフェをおおよそ再現

t<sub>rec</sub> ~ age ⇒ **進化の初段階にRP形成** : self-consistent

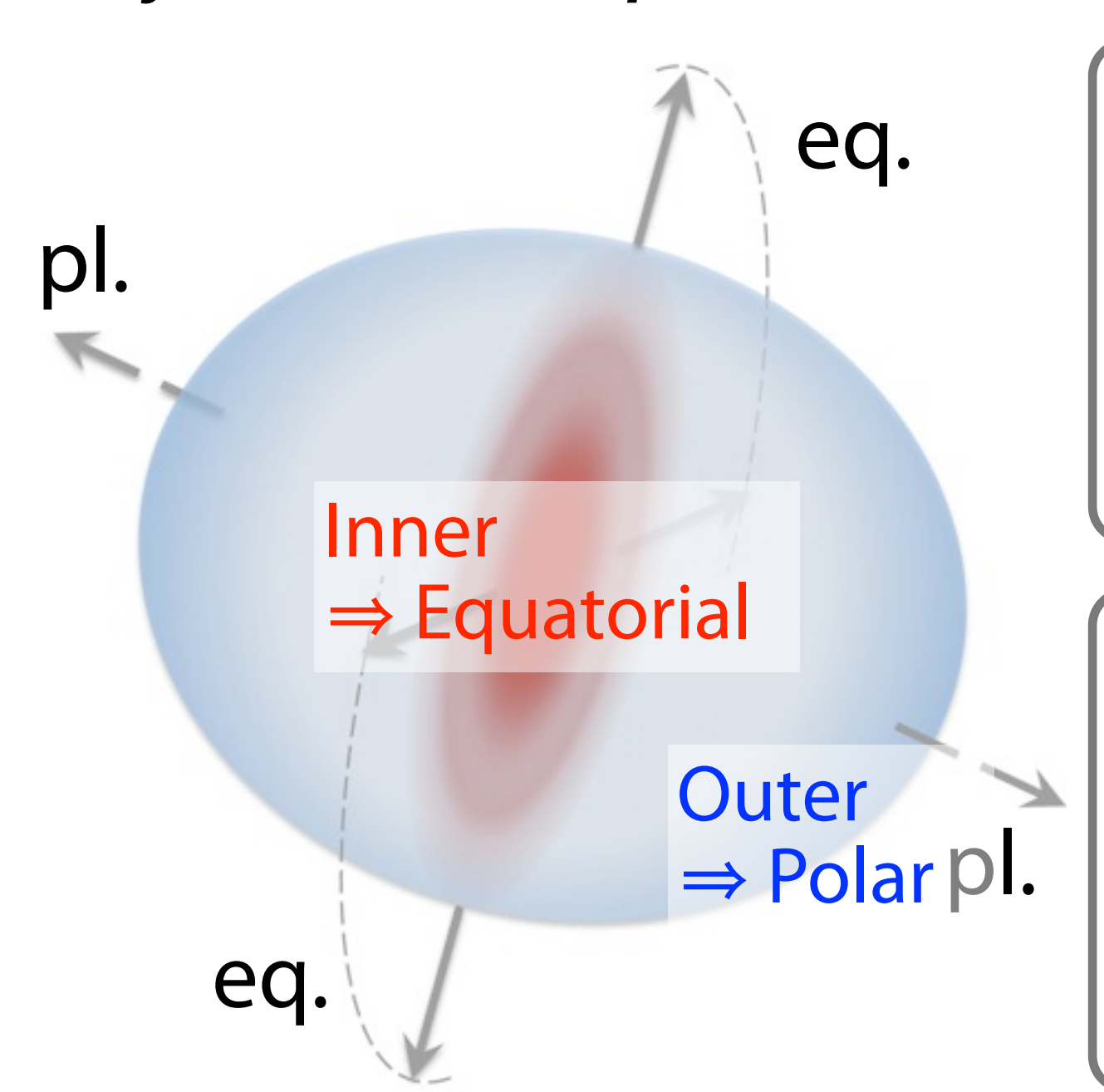
やや(b)の合いが良い, GRBの傍証なし→Rarefactionをprefer 25

# 4. Discussion Further Support for Rarefaction



# Origin of RP and Missing Branch

Projection from equatorial direction



 $T_{\rm e}, T_{\rm z}$ Inner > Outer

☞RPの空間分布を再現

SNR進化のmissing branch = Rarefaction

# Conclusion

- GC方向の3つのNon-Standard SNRs候補天体は、 いずれも特異な空間構造・環境であった。
- 典型的なMM SNRからのみ再結合優勢プラズマ(RP) が 発見されることをconfirmした。
- Non-Standard SNRsのうち、MMとRPをもたらす
   "Missing Branch"は、回転大質量親星の星風による 爆発初期のrarefaction processであることを解明した。



Rarefaction

MM/RP SNRs